2 b 4 п ь 8 8 % в г Д О К Л А Д Ы

IX, № 5 1948

խմբագրական կոլեգիա

Գ. Հ. ԲԱԲԱՋԱՆՅԱՆ, ՀԽՈՒ ԳԱ իսկական անդամ, Հ. Խ. ԲՈՒՆԻԱԹՅԱՆ, ՀՍՍՌ ԳԱ իսկական անդամ, Մ. Մ. ԼԵԲԵԴԵԿ (պատ քաշուղաշ), Վ. Հ. ՀԱՄԲԱՐ-ՀՈՒՄՅԱՆ, ՀՍՍԻ ԳԱ իսկական անդամ (պատ խմբագիշ), Ա. Գ. ՆԱՋԱՐՈՎ, ՀՍՍԻ ԳԱ թղթակից անդամ։

Редакционная колдегия

В. А. АМБАРЦУМЯН, действ. чл. АН Арм. ССР (отв. редактор), Г. А. БАБАДЖАНЯН, действ. чл. АН Арм. ССР, Г. Х. БУНЯТЯН, действ. чл. АН Арм. ССР, М. М. ЛЕБЕДЕВ (отв. секротарь), А. Г. НАЗАРОВ, чл.-корр. АН Арм. ССР.

ՀԱՅԿԱԿԱՆ ՍՍՌ ԳԻՏՈՒԹՅՈՒՆՆԵՐԻ ԱԿԱԴԵՄԻԱՅԻ ՀՐԱՏԱՐԱԿՉՈՒԹՅՈՒՆ

EPEBAH

ԲበՎԱՆԴԱԿՈՒ Ց Յ ՈՒՆ

	25
ելիկուասիխնիկա	
է. Մ. Վիլչուբ—Ամպրոպային պարպումների տեսակների քանակական հարարե- րակցությունը Հայկական ՍՍՌ-ում․	193
Մ. Մ. Լեբեռով — Բարձր ձկունութեյան սխեմա բաղմաֆիդեր ըաշխող սարքավո-	
րումների համար	199
Շինաբաբական մեկաանիկա	
Ս. Ա. Հումբարձումյուն <i>– Սիմհարիկ բեռնված պատման անիղոտրոպ իհազան Թներ</i>	203
Բնավայտագիտություն	
Վ. Ե. Մոսկալյովա - Բնափայտի անտառոմիական կազմության փոփոխությունը մեխանիկական ներգործությունների ղեպրում	207
Parjubrh ifordajaghin	
Աննա Իկանալա – Ակտինոմորֆ դորտնուկազգիների մոտ նեկտարանոցների էվոլուցիայի առնիվ	213
Ռույոհրի «իզոոլոգիա	
Վ. Հ. Ղազաբյան — հերի արև անան արև անման կոները պլաստիկ հյու- Ձերի փոխանցումն օնտարենետիկ դարդացման տարբեր ֆարհրում	219
Բու յսեւի գենեցիկա	
Հ. Գուլքանյան, Հայկական ՍՍՌ ԳԱ իսկական անդամ, և Ս. Գ. Հուվճաննի- սյան—Ցորենի հերրիոների ձեղջավորման ընույթը գոնայական փոշտտման դեպքում Է, Գ. Բոչարյան—Ժառանգականության փոփոխությունները սեխի և դղումի	225
վեր գետուսանի հիրընդի զադիայի դեպըստ	231

СОДЕРЖАНИЕ

Электротехника	Crp.
Л. М. Вильчур. О количественном соотношении типов грозовых разря- дов в Армянской ССР М. М. Лебедев. Схема повышенной гибкости для многофидерных распре-	193
делительных устройств . Строительная механика	199
С. А. Амбарцумян. Симметрично нагруженные анизотропные обо- лочки вращения	203
Древесиковедение	
В. Е. Москалева. Изменение анатомического строения древесины при	
механических воздействиях	207
Морфология растений	
Анна Иванова. К эволюции нектарников у актиноморфных лютиковых	213
Физиология растений	
В. О. Казарян. Динамика передачи пластических веществ из листьев к пазушным побегам в разных фазах онтогенетического развития у периллы	219
Генетика растений	
В. О. Гулканян, действ. чл. АН Армянской ССР, и С. Г. Осанесян.	
Характер распцепления гибридов пшеницы, полученных путем зонального	ดาส
опыления Э. Г. Кочарян. Изменчивость наследственности при вегетативной гиб-	225
ридизации дыни и тыквы	231

IX

1948

5

ЭЛЕКТРОТЕХНИКА

А. М. Вильчур

О количественном соотношении типов грозобых разрядов в Армянской ССР

(Представлено В. А. Амбарцумяном 5 VII 1948)

Визуальные наблюдения над грозами и характером грозовых разрядов в Армянской ССР, проводившиеся Водно-Энергетическим институтом* в грозовых сезонах 1945, 1946 и 1947 гг., позволили сделать некоторые интересные выводы относительно соотношения числа разрядов между облаком и землей и общим числом грозовых разрядов в высокогорных районах.

И. С. Стекольников во время Бакурианской экспедиции (1) обратил внимание на преобладание там разрядов между облаками по сравнению с разрядами на землю.

В 1942 г. М. М. Лебедев (12) отмечает малое число разрядов на землю в Армянской ССР.

В настоящее время мы располагаем достаточно общирным статистическим материалом по разрядам молнии.

Всего за период 1945—47 гг. зарегистрировано было 24660 разрядов разного типа. В число этих разрядов вошло 5744 разряда между облаком и землей.**

"Выбор систем грозозащитных устройств должен базироваться на совокупной оценке вероятности появления молнии в данном районе и на ее возможных электрических характеристиках" (1). Вот почему знание процентного числа разрядов на землю в высокогорных районах, обладающих высокой грозоносностью при пониженной величине амплитуд тока молнии, представляет существенный интерес.

Существует составленная Л. А. Кузьминым "карта распределения одинакового процентного числа молний на землю" (от общего числа разрядов) некоторых районов Европейской части СССР с Уралом и

^{*} С 1948 г.--Лаборатория Электротехники АН Армянской ССР.

^{**} В действительности общее число разрядов было еще выше, так как некоторые наблюдатели в первый год инструктирования не записывали числа громов без видимой молнии (3)

частью Закавказья. Армянская ССР на этой карте является "белым местом".

Предлагаемая таблица дает возможность пополнить упомянутую карту данными по ряду точек Армянской ССР.

Сеть визуальных наблюдений охватила 18 точек в различных климатических районах Армении (3). Мы можем пока привести данные о процентном числе разрядов на землю в 12 точках, где наиболее тщательно велись наблюдения над разрядами разного типа и, в частности, регистрировались случаи грома при отсутствии видимой молнии.

На основании суммы разрядов в этих 12 точках определено и средне-взвешенное процентное число разрядов на землю по Армянской ССР в целом.

Таблица 1 Соотношение между числом разрядов на землю п общим числом разрядов (в процентах)

		C at O M	Pus	ридов	(B HOOLE	nidx,	
Климатический район	№ пункта наблюдения	Высота над уровнем моря	Год наблю дений	Число раз- рядов на землю	Число раз- рядов меж- ду облака- мя	Общее число раз- рядов	°/о разрядов на землю
	2	1300	1946 1947	14 61	681 1187	695 1248	2,0 4,9
Лорн-Памбакский	3	1405	1946 1947	16 42	317 1023	333 1065	4,8 4,0
Ширакский	4	1529	1947	373	858	1231	30,5
Северный берег Севанский Южный берег	6 7 8 9	1834 1937 1930 1943	1947 1946 1947 1946 1947	303 110 280 24 265	824 730 2836 264 1098	1127 840 3116 2-8 1363	26,9 13,0 8,4 8,3 19,4
Предгорья Среднего Аракса	10	1880	1946 1947 1947	30 12 11	587 1138 591	617 1150 602	4,9 1,0 1,8
Араратская равнина	16	923	1917	36	674	710	5,1
Вайкский	17	1228	1947	106	1 433	539	19,7
Сиснанский	18	1620	1946	98 94	435 621	533 715	18,4
Средне-взвешенное по Армянской ССР				1875	14297	16172	11,6

Таким образом, большинство районов Армении обладает процентом разрядов на землю от 1 до 20° . Повышенное число разрядов Ширакского района требует дополнительной проверки, так как в настоящее время не может быть проконтролировано какой-либо второй точ-

кой наблюдения. Что касается пункта № 6 Севанского района, то его несколько обособленное географическое положение настолько отличает его от других пунктов наблюдения в бассейне озера Севан, что в нем не исключена возможность повышенного числа разрядов.

Среднее число разрядов на землю по Армянской ССР оказывается

равным 11,6%.

Если сравнить эти цифры с упомянутой картой Л. А. Кузьмина, оказывается, что Армянская ССР принадлежит к числу районов с самым низким процентным отношением разрядов на землю.

Наибольшим числом разрядов на землю отличается Северный и Средний Урал, где процент поражений доходит до 80.

В системе Ленэнерго и Мосэнерго число разрядов на землю составляет 50—60% от общего числа разрядов. На Донбассе число разрядов на землю колеблется в пределах от 60 до 20%.

На Северном Кавказе и Черноморском побережьи наблюдается от 30 до 10% разрядов на землю.

Следовательно, мы имеем полную возможность утверждать, что по количественному соотношению типов разрядов молнии высокогорные районы Армянской ССР находятся в наиболее благоприятных условиях из всех освещенных районов СССР.

Интересно проследить процентное отношение числа разрядов на землю в течение грозового сезона.

В Армянской ССР самыми грозоносными месяцами являются майиюнь. Годовой ход грозовых отключений высоковольтных линий передачи также характеризуется резко выраженным максимумом в маеиюне месяцах (3). Это заставляет ожидать преобладания в эти месяцы числа разрядов на землю по сравнению с другими месяцами грозового сезона.

В таблице 2 представлен помесячный ход соотношения между разрядами на землю и общим числом грозовых разрядов.

Действительно, май-июнь дают по большинству пунктов наблюдения явный максимум грозовых разрядов на землю. Это подтверждается помесячным ходом средне-взвешенного процента разрядов по Армянской ССР в целом. В остальные месяцы грозы сопровождаются меньшим числом разрядов на землю.

Несколько неожиданным является резкий рост процента разрядов на землю в пункте № 7 в сентябре 1946 г., в пункте № 18 в августе, в пунктах № № 8, 9 и 17 в сентябре и в пункте № 4 в октябре 1947 г.

Однако, как выяснилось при детальном анализе регистрации гроз в перечисленных пунктах в названные месяцы, этот внезапный рост числа разрядов на землю явился каждый раз следствием одной мощной грозы фронтального характера, пронесшейся над всей Арменией.

Поскольку грозы мая-июня, самых грозоносных месяцев в Армянской ССР, являются преимущественно также фронтальными (1), можно притти к выводу, что указанный повышенный процент разрядов

на землю действительно вызывается интенсивными грозами фронтального характера.

Таблица 2

помесячный ход

соотношения между числом разрядов на землю и общим числом разрядов (в процентах)

		_							14.5	
Климатический	ж пунк. наблюд.	136,110 R	Месяцы							
район		Год на	IV	V	VI	VII	VIII	IX	X	Сред
	2	1946			-	1 2	2,4		=	2 4,8
Лори-Памбакский	3	1946 1947	7,9	3.1	16,1	4,3	4,5	5,2	2.6	4.0
Ширакский	4	1947		30,6	25,4	33,2	34	35	42.2	30,5
OTO ARRIVATION OF	6 7	1947	24,8	38,9	17,5	31	15.2	0 24,6	20	26,9
Севанский	8	1947 1946	4,3	16, 5 2	8,4	2,7 22,5	9,1 6,9	6,1	0	8,4 8,8
	9	1947		2.3	20,8	19,1	0	33,4		19,4
Предгорья Среднего	10	1946 1947			1	7,7 0,8	3,6 1,3	-	1-1	4.9 1.0
Аракса	14	1947		4,6	1,2	0	0	0		1,8
Араратская равнина	16	1947	6.7	8,2	3,3	0	0	-		5,1
Вайкский	17	1947			21,6	17	17,5	28,6	15.7	19,7
Сисианский	18	1946 1947		5.7 18,7	22 9,3	25 9	13,6 23,5			18,4 13,2
Средне-взве- шенное по Арм. ССР	YUZZ		11,7	19,5	12,3	8,4	5.7	16,4	14,3	11,6

Выводы. 1. Высокогорные районы Армянской ССР характеризуются резким преобладанием разрядов молнии между облаками, по сравнению с числом разрядов на землю. Средне взвешенный процент числа разрядов на землю по отношению к общему числу разрядов составляет 11,6%.

2. Армянская ССР принадлежит к числу районов Советского Союза с самым низким процентом числа разрядов на землю (1—20%).

3. Помесячный ход соотношения числа разрядов показывает, что самыми интенсивными по числу разрядов молнии на землю являются май-июнь месяцы. Это подтверждается повышенной грозоносностью, грозопоражаемостью и числом грозовых отключений высоковольтных линий передачи.

4. Повышенный процент разрядов молнии на землю, по сравнению с годовым, соответствует случаям прохождения через Армянскую ССР интенсивных фронтальных гроз.

Лаборатория Электротехники Академии Наук Армянской ССР Ереван, 1948, июнь.

L. Մ. ՎԻLՉՈՒՐ

Ամպրոպային պարպումների օեսակների քանակական հարաբերակցությունը Հայկական ՍՍՌ-ում

Սույն աշխատանքը Թույլ է տալիս լրացնել «Նույն տոկոսաԹիվ ունեցող, դեպի գետին ուղղված կայծակների դասավորման» գոյուԹյուն ունեցող քարտեզը, կազմված ՍՍՌՄ-ի Եվրոսլական մասի, Ուրալի և Անդրկովկասի մի մասի համար, Հայկական ՍՍՌ-ի

ամպային պարպումների զերակչռությամբ։

Հայկական ՍՍՌ-ն պատկանում է ՍՍՌՄ-ի այն շրջանների Թվին, որոնք ունեն դեպի գետին ուղղված պարպումների նվազագույն տոկոսը (1—200₀)։

Ըստ դեպի դետին ուղղված կայծակների Թվի՝ ամենաինտենսիվ ամիսներն են մայիսը և հունիսը։ Դա հաստատվում է ամպրոպայնության, չանթահարության և բարձր լարման գծերի չանթային անջատումների աճով այդ ամիսներին։

ЛИТЕРАТУРА—ԳՐԱԿԱՆՈՒԹՅՈՒՆ

1. И. С. Стекольников. Физика молнии и грозоващита. АН СССР, 1943. 2. М. М. Лебедев. Изв. Арм. Филиала АН СССР, № 2 (20), 1942. 3. Л. М. Вильчур. ДАН Армянской ССР, 9, № 4. 1948. 4. С. Н. Матвеев, Турция (Азиатская часть— Анатолня). Изд. АН СССР. 1946.



5

ЭЛЕКТРОТЕХНИКА

М. М. Лебедев

Схема повышенной гибкости для многофидерных распределительных устройств

(Представлено А. Г. Иосифяном 1 VII 1948)

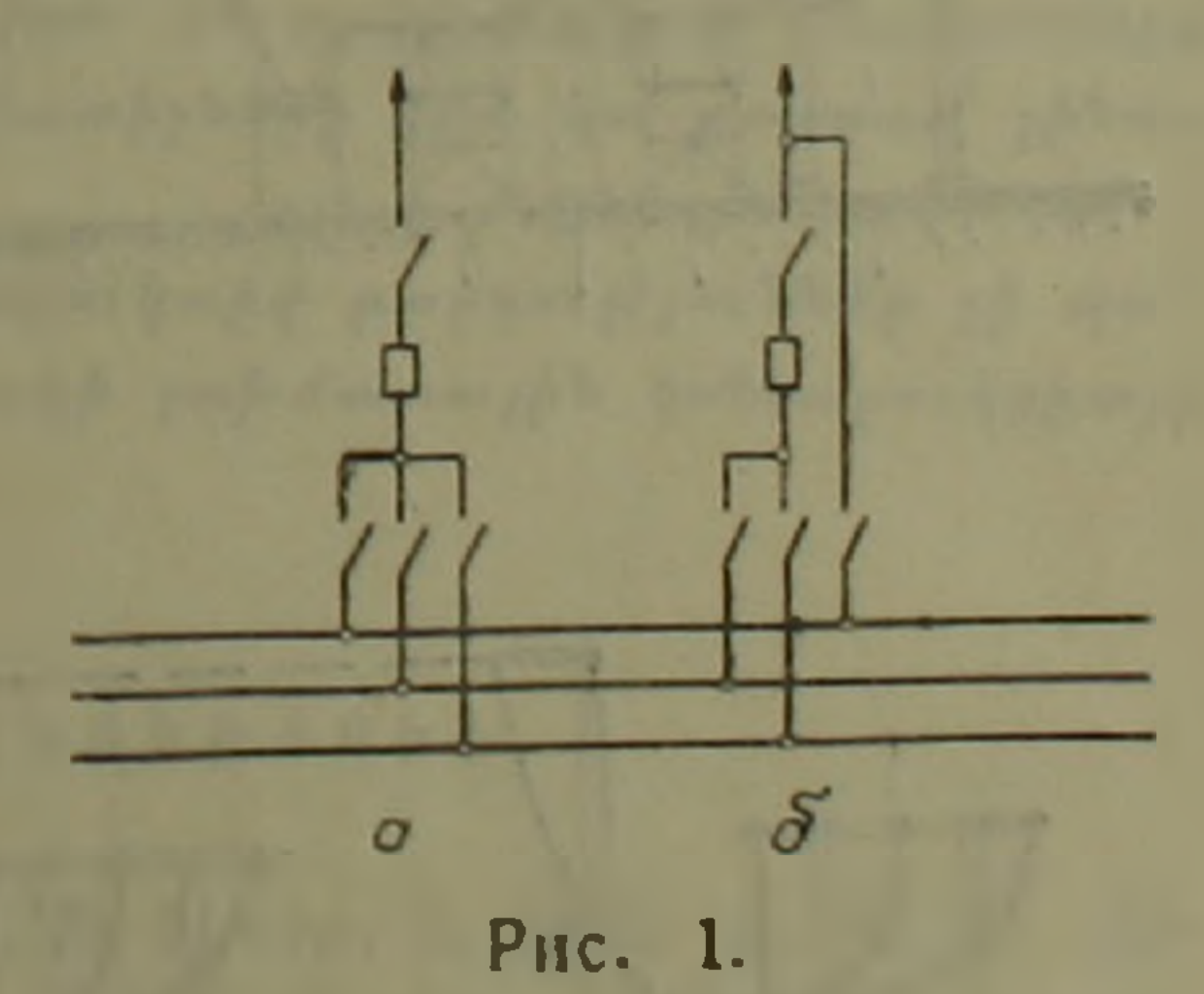
Анализ существующих и возможных схем распределительных устройств показывает, что когда число присоединенных объектов превосходит 7—8, бесшинные схемы начинают уступать шинным или в техническом, или в экономическом отношении. Однако и наиболее экономичная из шинных схем,—Европейская 2310,*—сильно снижает свои технические показатели по мере увеличения числа присоединенных объектов.

Дефектами европейской схемы являются:

- 1. Быстрое падение коэфициента локализации аварий с ростомчисла присоединенных объектов (2).
 - 2. Обесточение всей установки при отказе одного из выключателей.
 - 3. Простой объекта при ревизии выключателя.

Второй недостаток и частично первый ослабляются работой на двух системах шин; третий—устройством байпаса. Однако, при ревизии одной системы шин или при использовании одной из систем шин для замены через байпас ревизуемого выключателя междушинным, работа на двух системах шин становится невозможной. Поэтому все сильнее становится тенденция к устройству в многофидерных распре-

делительных устройствах третьей системы шин. Назначение ее может быть различным. Авторы, придающие решающее значение ремонту шин и обеспечению испытательной цепи для подъема линии с нуля (предлагают схему Европейская 3310 с третьей резервной системой шин (рис. 1a); авторы, придающие решающее значение ревизии выключателей (16.6.7), предлагают схему Евро-



пейская 3312 с третьейбайпасной системой шин (рис. 16).

^{*} Номенклатура схем, здесь примененная, предложена нами (1) и уточнена по предложению проф. В. П. Иванова, предложившего номеровать классы по числу систем шин.

По мере роста числа присоединенных объектов суммарная продолжительность ревизии выключателей занимает все большую часть года, почему необходимость в байпасной системе шин растет. Ремонт шин всегда остается относительно кратковременным. Поэтому, казалось-бы, превосходство схемы Европейская 3312 бесспорно, и схема Европейская 3310 может найти применение только в системах, где двухцепные линии обычны, а одноцепные являются исключением (5).

Однако, Европейская 3312 не обеспечивает подъем линии с нуля, что при большом числе фидеров может потребоваться достаточно ча-

сто. Поэтому нами для мощной электростанции в Армянской ССР предложена схема, сочетающая оба принципа и названная нами Армянская 3312 (рис. 2). Описание схемы таково:

Армянская 3312. Три системы шин, две рабочих, третья— байпасная и испытательная. Агрегаты присоединены ко всем трем системам через развилки из разъединителей; линии—к двум рабочим системам через развилку из разъединителей. Выключатели включены между объектами и развилками. Имеются междушинные выключатели. На линейных выключателях имеется байпас через байпасную систему шин.

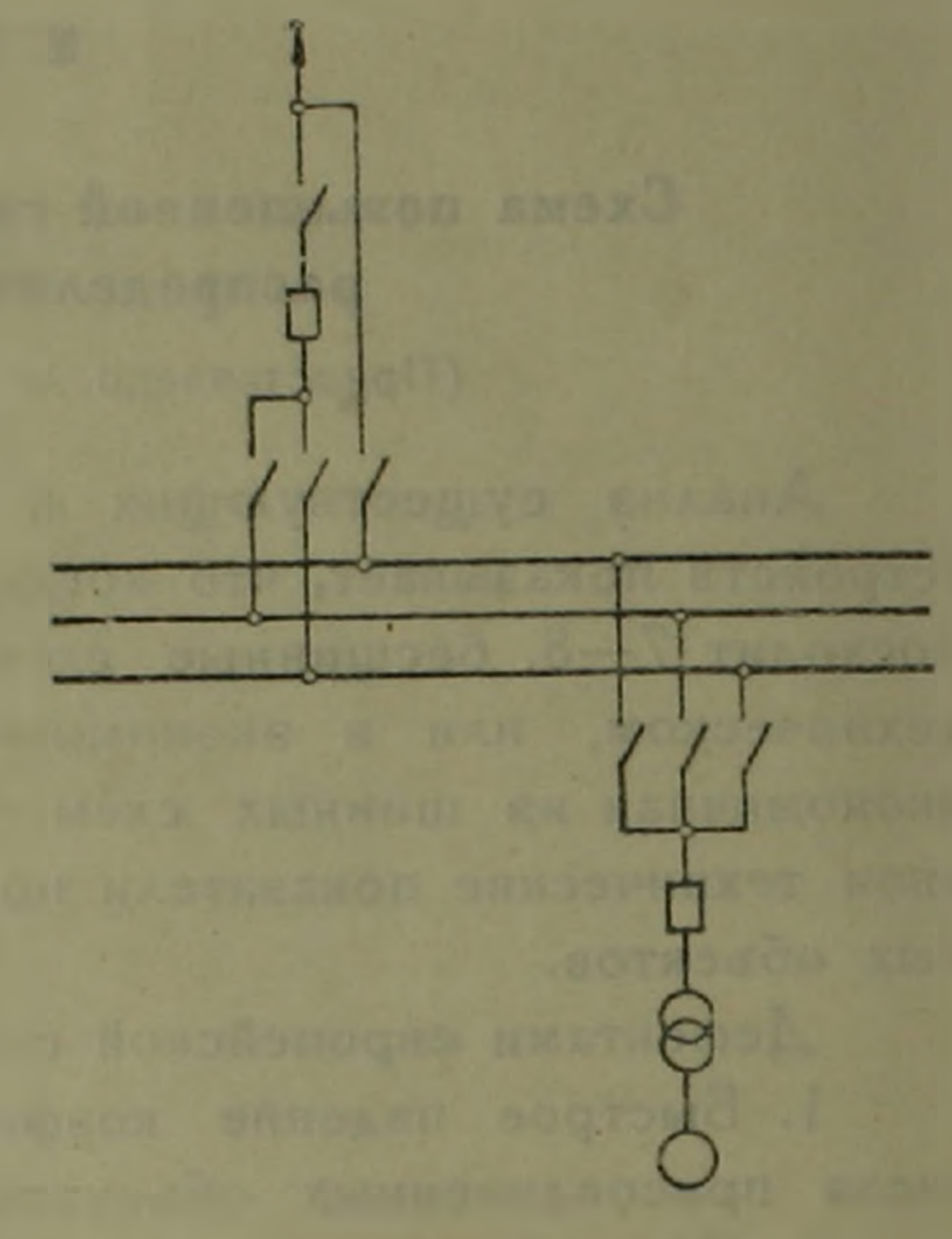


Рис. 2.

Рис. З показывает, что схема не требует конструктивных усложнений и легко размещается на типовой шахматной конструкции плоского типа.

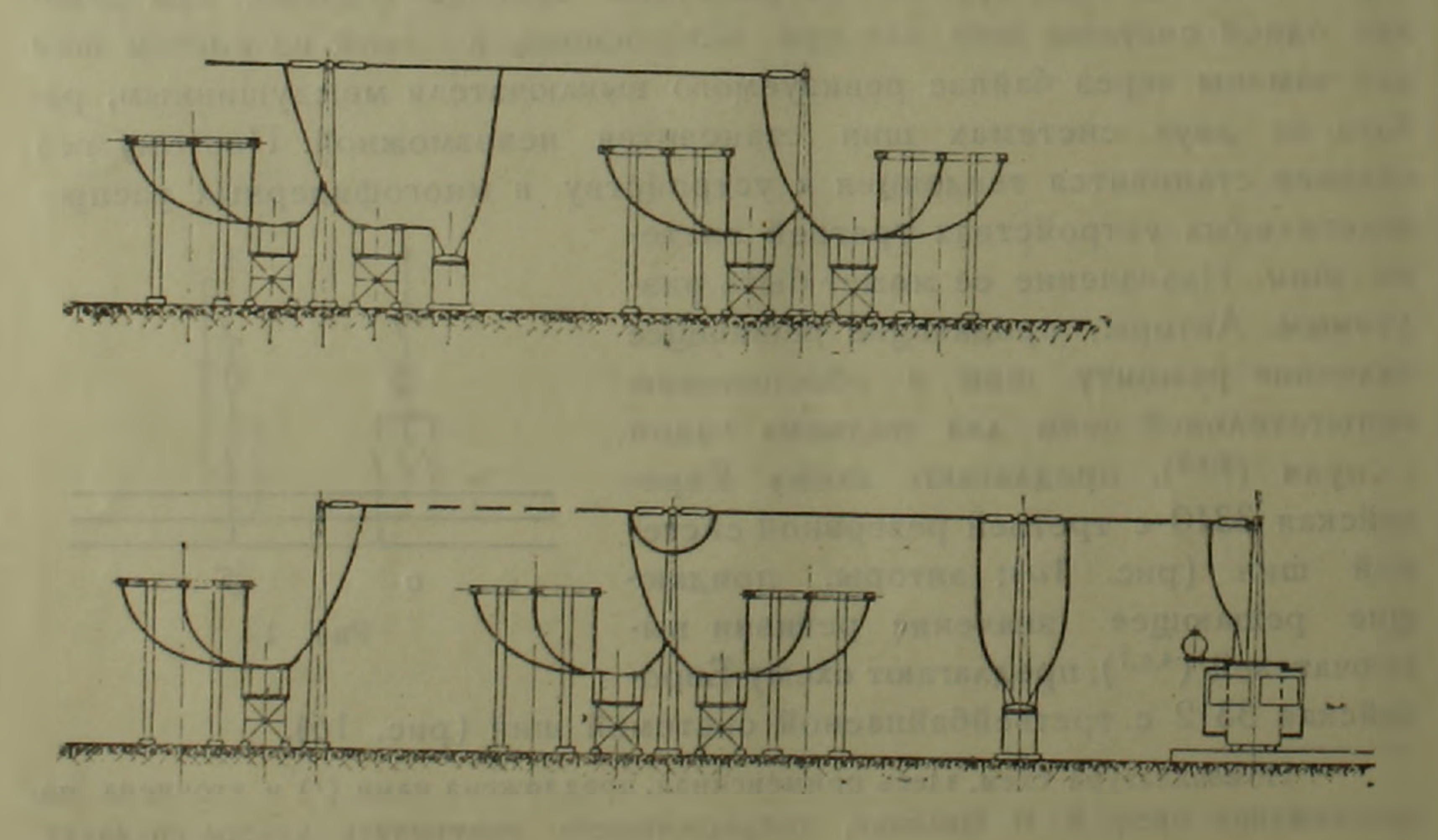


Рис. 3.

Схема совмещает преимущества обеих названных выше схем коммутации и позволяет сохранить работу на двух системах шин при всех режимах, кроме ремонта самих шин, редкого и кратковременного. Она позволяет также одновременно производить испытание линии и ревизию линейного выключателя, что крайне важно при аварийных ремонтах.

Лаборатория Электротехники Академии Наук Армянской ССР Ереван, 1948, март.

ሆ ሆ. L\PETEL

Burar ձկունության սխհմա բազմամիդեւ բաշիւող սաւքավուումների համաբ

Եվրոպական սխեմայի դեֆեկտները Թուլանում են շինաների երկու սիստեմների վրա կատարվող աշխատանքով և բայպասի կառուցմամբ։

Սակայն, շինաների սիստեններից մեկի ստուզման ղեպքում կամ ստուգվող անջատիչը բայպասի միջոցով միջշինայինով փոխարինելու համար սիստեններից մեկի օգտագործման դեպքում, աշխատանքը շինաների երկու սիստենների մրա դատնում է անննարին։ Այդ պատատով հետպնան ունենարում է քազմանիդեր բաշխող սարբավորումներում շինաների երրորդ սիստեմ ունենալու տենդենցը։ Այդ սիստեմ նատակը կարող է լինել տարբեր։ Այն հեղինակները, որոնք վճռական նշանակությունը տալիս են շինաների նորոգմանը և փորձարկիչ շղթայի ապանովմանը՝ գծերի լարումը ղերայից բարձրացնելու նամար (Հ. .) առաջարկին (նվ. 1a), իսկ այն հեղինակները, որոնք վճռական նշանակները տարեն ննանակները տարեն հետ մեկում և են անրորդ բայպասային սիստեմի հետ մեկում (նվ. 1a), իսկ այն հեղինակները, որոնք վճռական նշանակությունը տալիս են անջատիչների ստուզմանը (հ. .) առաջարկում են եվրոպական 3312 սխեման՝ շինաների երրորդ բայպասային սիստեմի հետ մեկտեղ (նվ. 16)։

Հայկական ՍՍՈ-ում հզոր էլեկտրակայանի համար մեր առաջարկած սխեման զուգակցում է վերը հիչված երկու սկզբունքները և մեր կողմից անվանված է հայկական 3312 (Ֆկ. 2)։ Սխնմայի նկարագիրը հետևյալն է.—

Հայկական 33՝ 2.— Շինաներե երեք սիստեմ — երկուսը աշխատող, երրորդը՝ բայպասային և փորձարկիչ։ Ագրեզատները բոլոր երեք սիստեմների հետ միացված են բաժանեչներից հետմանկի միջոցով, գծերը երկու աշխատող սիստեմների հետ միացված են բաժանիչներից հետմանկի միջոցով։ Անջատիչները ներփակված են օրեկտների և հետմանկերի
արանքում։ Կան միջջինային անջատիչներ։ Գծային անջատիչների վրա կա բայպաս՝ շինաների բայպասային սիստեմի միջով։

3-րդ եկարը ցույց է տալիս, որ սխեման կոնստրուկտիվ բարդություններ չի պակրա,

ЛИТЕРАТУРА — ԳՐԱԿԱՆՈՒԹՅՈՒՆ

1. М. М. Лебедев. ДАН Армянской ССР. 2. № 1, стр. 3, 1945. 2. М. М. Лебедев. Изв. АН Арм. ССР, № 1—2, стр. 37, 1944. 3. Н. Probst. AEG Mitteilungen. № 4, 1937. 4. Электрические станцин № 10—11, 1940. 5. В. Е. Казанский, В. С. Кондахчян. И. Л. Шмидт. Электрические станцин, № 8, 1946. 6. Л. И. Двоскин, Электрические станцин, № 8, 1946. 6. Л. И. Двоскин, Электрические станцин. № 1, 1946. 7. Л. И. Двоскин. Электрические станцин. № 6, 1947.



С. А. Амбардумян

Симметрично нагруженные анизотропные оболочки вращения

(Представлено А. Г. Назаровым 18 IX 1948)

1. Здесь мы рассматриваем симметрично нагруженные оболочки вращения, изготовленные из ортотропных материалов и имеющие симметричные граничные условия.

Предполагаем, что одна из плоскостей упругой симметрии материала оболочки параллельна срединной поверхности, а остальные две перпендикулярны к координатным линиям ϕ^* =const, т. е. меридианам поверхности и s=const—параллельным кругам.

Считаем также, что для рассматриваемой оболочки справедлива гипотеза Кирхгоффа — Λ ява и потому все вычисления производим с точностью этой гипотезы (1,2).

2. Как известно, напряженное состояние оболочки определяется растягивающими усилиями T_1 , T_2 , перерезывающим усилием N и изгибающими моментами G_1 , G_2 . Под действием этих усилий элемент оболочки находится в равновесии. Уравнения равновесия представляются так $\binom{2}{2}$:

$$(\nu T_1)^{\cdot} + T_2 \sin \alpha + \frac{\nu}{R_1} N + E_1 \nu = 0$$
 2.1

$$(\nu N)' - \nu \left(\frac{T_1}{R_1} + \frac{T_2}{R_2}\right) + E_2 \nu = 0$$
 2.2

$$(G_1 v)^{\cdot} + G_2 \sin \alpha - v N + L_3 v = 0$$
 2.3

Здесь точкой обозначаем диференцирование по s.

Как известно, введением одной функции V уравнениям равнове-

сия можно дать вид:
$$v T_1 = -V \sin \alpha + \Phi_1(s), \ v N = V \cos \alpha + \Phi_2(s),$$
 2.4

$$(\nu G_1)' + G_2 \sin \alpha - V \cos \alpha = -\nu L_3 + \Phi_2(s).$$
 2.5

При этом принята $T_2 = V$.

^{*} Здесь и в дальнейшем придерживаемся обозначений цитированной работы (2).

В этих формулах члены $\Phi_1(s)$, $\Phi_2(s)$ зависят от внешних нагрузок (2).

3. Деформация срединной поверхности оболочки характеризуется тремя компонентами деформации ε_1 , ε_2 , связанными весьма важным соотношением (2).

$$v \varepsilon'_{2} = (\varepsilon_{2} - \varepsilon_{1}) \sin \alpha + \vartheta \cos \alpha.$$
 3.1

Перемещения точек срединной поверхности оболочки определяются формулами:

$$\xi = v \epsilon_2, \quad \zeta = \zeta_0 + \int_{s_0}^{s} (\epsilon_1 \cos \alpha + \vartheta \sin \alpha.) ds.$$
 3.2

4. Кроме указанных соотношений для решения задачи необходимы также связи между деформациями и напряжениями.

Из обобщенного закона Гука имеем (3):

$$\sigma_1 = B_{11} e_1 + B_{12} e_2, \ \sigma_2 = B_{22} e_2 + B_{12} e_1$$
 4.1

где

$$B_{11} = \frac{E_1}{1 - \mu_1 \mu_2}, \ B_{22} = \frac{E_2}{1 - \mu_1 \mu_2}, \ B_{12} = \frac{E_1 \mu_2}{1 - \mu_1 \mu_2} = \frac{E_2 \mu_1}{1 - \mu_1 \mu_2},$$

$$e_1 = \varepsilon_1 + x \varkappa_1, \quad e_2 = \varepsilon_2 + x \varkappa_2,$$
 4.2

здесь

$$x_1 = -\vartheta$$
, $x_2 = \vartheta \cdot \frac{\sin x}{y}$ 4.3

Имея значения напряжения σ_1 и σ_2 для внутренних усилий на двух основных сечениях $\phi = \text{const}$, s = const, получим следующие формулы:

$$T_1 = 2h (B_{11} \epsilon_1 + B_{12} \epsilon_2), T_2 = 2h(B_{22} \epsilon_2 + B_{12} \epsilon_1),$$
 1.4

$$G_1 = \frac{2h^3}{3} (B_{11} \varkappa_1 + B_{12} \varkappa_2), \quad G_2 = \frac{2h^3}{3} (B_{22} \varkappa_2 + B_{12} \varkappa_1).$$
 4.5

В этих формулах h--половина толщины оболочки.

5. Данные соотношения вполне достаточны для расчета симметрично нагруженных анизотропных оболочек вращения. После некоторых преобразований из вышеприведенных уравнений получаем:

$$V'' - V' \frac{\sin\alpha}{\nu} - V \frac{B_{22}}{B_{11}} \frac{\sin^2\alpha}{\nu^2} + V \frac{B_{12}}{B_{11}} \frac{1}{R_1 R_2} = \frac{2h\Omega}{B_{11}} \frac{\vartheta}{R_2} + \Psi_1(s),$$

$$\vartheta'' - \vartheta \cdot \frac{\sin\alpha}{\nu} - \vartheta \cdot \frac{B_{22}}{B_{11}} \frac{\sin^2\alpha}{\nu^2} - \vartheta \cdot \frac{B_{12}}{B_{11}} \frac{1}{R_1 R_2} = -\frac{3}{2h^3 B_{11}} \frac{V}{R_2} + \Psi(s),$$
5.1

$$\Psi_{1} = \frac{B_{22}}{B_{11}} \frac{1}{\nu} \Phi_{1}(s) - \frac{B_{12}}{B_{11}} \frac{\sin \alpha}{\nu^{2}} \Phi_{1}(s)$$

$$\Psi_{2} = \frac{3}{2h^{3}B_{11}} \left[L_{1} - \frac{1}{\nu} \Phi_{2}(s) \right]$$
5.2

$$\Omega = B_{11} B_{22} - B_{12}^{3}$$
 5.3

Обозначая:

$$L(a) = a'' - \frac{\sin \alpha}{v} \quad a' - \frac{B_{22}}{B_{11}} = \frac{\sin^3 \alpha}{v^2} = a,$$
 5.4

получим следующую систему диференциальных уравнений для расчета анизотропных оболочек вращения:

$$L(V) + \frac{V}{R_1 R_2} \frac{B_{12}}{B_{11}} = \frac{2h\Omega}{B_{11}} \frac{\vartheta}{R_2} + \Psi_1(s)$$

$$L(\vartheta) - \frac{\vartheta}{R_1 R_2} \frac{B_{12}}{B_{11}} = -\frac{3}{2h^3 B_{11}} \frac{V}{R_2} + \Psi_2(s).$$
5.5

Введением новой неизвестной функции

$$\sigma = \vartheta - i \frac{B_{11}}{2h^{2}\Omega} \sqrt{\frac{3\Omega}{B_{11}^{2}}} V$$
5.6

задачу можно привести к решению одного уравнения второго порядка:

$$L(\sigma) + \frac{1}{hR_2} \sqrt{\frac{3\Omega}{B_{11}^2}} \sigma = \Psi(s),$$
 5.7

где

$$\Psi = \frac{B_{11}}{2h^{2}\Omega} \sqrt{\frac{3\Omega}{B_{11}^{2}}} \left\{ \frac{1}{h} \sqrt{\frac{3\Omega}{B_{11}^{2}}} \left[L_{3} - \frac{1}{\nu} \Phi_{2}(s) \right] - \frac{i}{\nu} \left[\frac{B_{12}}{B_{11}} \Phi_{1}(s) - \frac{B_{22}}{B_{11}} \frac{\sin \alpha}{\nu} \Phi_{1}(s) \right] \right\}.$$
5.8

6. За частное решение принимаем решение безмоментной задачи. При этом, как известно, $N_1 = 0$, $G_1 = G_2 = 0$, поэтому (2),

$$\vartheta = 0, V = -\frac{\Phi_2(s)}{\cos \alpha}.$$
 6.1

Тогда на основе (6.1) и (5.6), частное решение примет вид:

$$\sigma_0 = i \frac{B_{11}}{2h^2 \Omega} \sqrt{\frac{3\Omega}{B_{11}^2}} \frac{\Phi_2(s)}{\cos \alpha}$$
 6.2

Общее решение однородного уравнения ищем тем же путем, что для изотропных оболочек (2).

$$\sigma = (A_1 - iB_1)(X_1 + iY_1) + (A_2 - iB_2)(X_2 + iY_2),$$
 6.3

где $(X_1 + i Y_1)$ и $(X_2 + i Y_2)$ являются линейно независимыми частными решениями диференциального уравнения, $(A_1 - i B_1)$ и $(A_2 - i B_2)$ —произвольные постоянные.

Складывая (6.2) и (6.3) и отделяя вещественную и мнимую части, получим:

$$\vartheta = A_1 X_1 + B_1 Y_1 + A_2 X_2 + B_2 Y_2$$
 6.4

$$V = \frac{2h^{2}\Omega}{B_{11}} \sqrt{\frac{B_{11}^{2}}{3\Omega}} (B_{1}X_{1} - A_{1}Y_{1} + B_{2}X_{2} - A_{2}Y_{2}) - \frac{\Phi_{2}(s)}{\cos\alpha}.$$
 6.5

Имея значения и V, без затруднений можем найти внутренние усилия и перемещения.

Таким образом мы получили основные уравнения для расчета ортотропных оболочек вращения. Эти уравнения от уравнений изотропных оболочек отличаются только лишь более сложными коэфициентами, выражающими анизотропность материала оболочки. Из этих уравнений, как частный случай, получаются уравнения изотропной оболочки.

Институт строительных материалов и сооружений Академии Наук Армянской ССР Ереван. 1948, август.

U. U. ZUUFUPANHUBUV

Սիմեորիկ բեռնված պոսնան անիզոուպ թաղանթնեւ

Աշխատանքում ուսումնասիրվում են սիժետրիկ բեռնված պտտման Թաղան Եները, որոնք ապատրաստված են օրտոտրոպ նյութերից։ Ցույց է տրված, որ խնդրի լուծման համարսարումներից տարբերվում են միայն հաստատուն գործակիցներով, որոնք արդյունք են ապատրումներից տարբերվում են միայն հաստատուն գործակիցներով, որոնք արդյունք են դատանին նաև ապատուններից որպես մասնավոր ապատունների անկորումների արտանակում և արդյունք են արտանակումների անկորումների որոն ապատունների արտանակումների արտանակումների արտանակումների անկորհի և ստանակ իզոտրոպ հաստանին և արտանակումների անկասարումների արտանակումների արտանակում և արտանակումների արտանակում և արտանակումների արտանակումների արտանակումների արտանակումների արտանակում և արտանակում և արտանակումների արտանակումների արտանակում և արտանակումների արտանակումների արտանակում և արտանակումների արտանակուն

ЛИТЕРАТУРА — ԳՐԱԿԱՆՈՒԹՅՈՒՆ

1. В. В. Новожилов и Р. Финкельштейн. ПММ, 7, в. 5, 1943. 2. А. Н. Лурье. Статика тонкост. упругих оболочек, 1947. 3. С. А. Амбарцумян. ПММ, 12, в. 1, 1948.

IX 1948

5

ДРЕВЕСИНОВЕДЕНИЕ

В. Е. Москалева

Изменение анатомического строения древесивы при механических воздействиях

(Представлено А. Л. Тахтаджяном 27 11 1948)

При различных видах механических воздействий происходят свое-образные разрушения древесины.

Л. А. Иванов (1) установил, что в связи с нарушением структуры в зоне разрушения при окраске хлор-цинк-иодом появляется фиолетовое окрашивание, характерное для целлюлозы.

Нашей задачей было выявить характер разрушения древесины при различных видах механических испытаний, показать, как и когда происходит это разрушение и какие элементы разрушаются в первую очередь.

1. Разрушение древесины при сжатии вдоль волокон. Объектом была взята сосна. Испытания проводились на прессе Гагарина. Соответственно диаграмме сжатия вдоль волокон образцы подвергались нагружению до напряжений, соответствующих следующим значениям:

1. до предела пропорциональности; 2. у предела пропорциональности (условно); 3. за пределом пропорциональности; 4. когда кривая идет вниз, и образец разрушается окончательно.

Для установления начала разрушения древесины были использованы реактивы на целлюлозу—хлор-цинк-иод и гематоксилин. Было установлено, что при окраске сафранином деформированная зона остается светлой полосой на темном фоне одревесневшей ткани, окрасившейся в красный цвет. При окрашивании флорглюцином с соляной кислотой разницы между окрашиванием разрушенных элементов и цельной древесины не получалось.

Срезы исследовались также в поляризованном свете. Путем тщательного исследования 50 образцов, подвергнутых различным напряжениям, начальные деформации удалось обнаружить только у предела пропорциональности.

На рис. І изображен окрашенный гематоксилином тангентальный срез образца сосны, доведенного сжатием до предела пропорциональности. В центре фотографии можно наблюдать едва заметную темную

линию, проходящую наклонно через сердцевинный луч со смоляным ходом. В стадии, предшествующей окончательному разрушению, отчетливо видна гофрировка стенок клеток, складки и трещины.

Для более детального изучения разрушения отдельных элементов при сжатии вдоль волокон была произведена мацерация кусочков древесины сосны, взятых из зоны разрушения (рис. 2.).

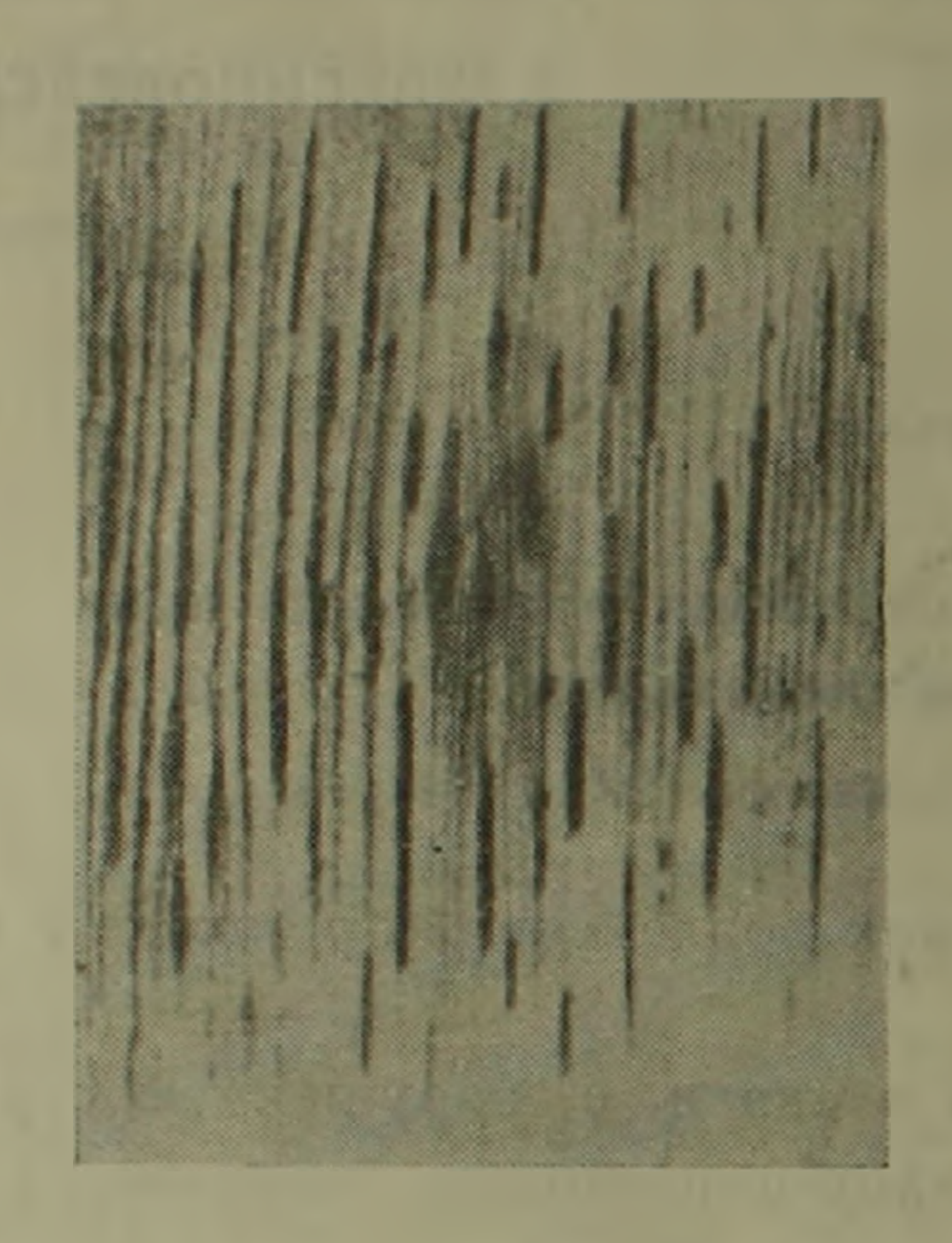


Рис. 1. Тангентальный срез сосны, окращенный гематоксилином. Начало разрушения при сжатии вдоль волокон.

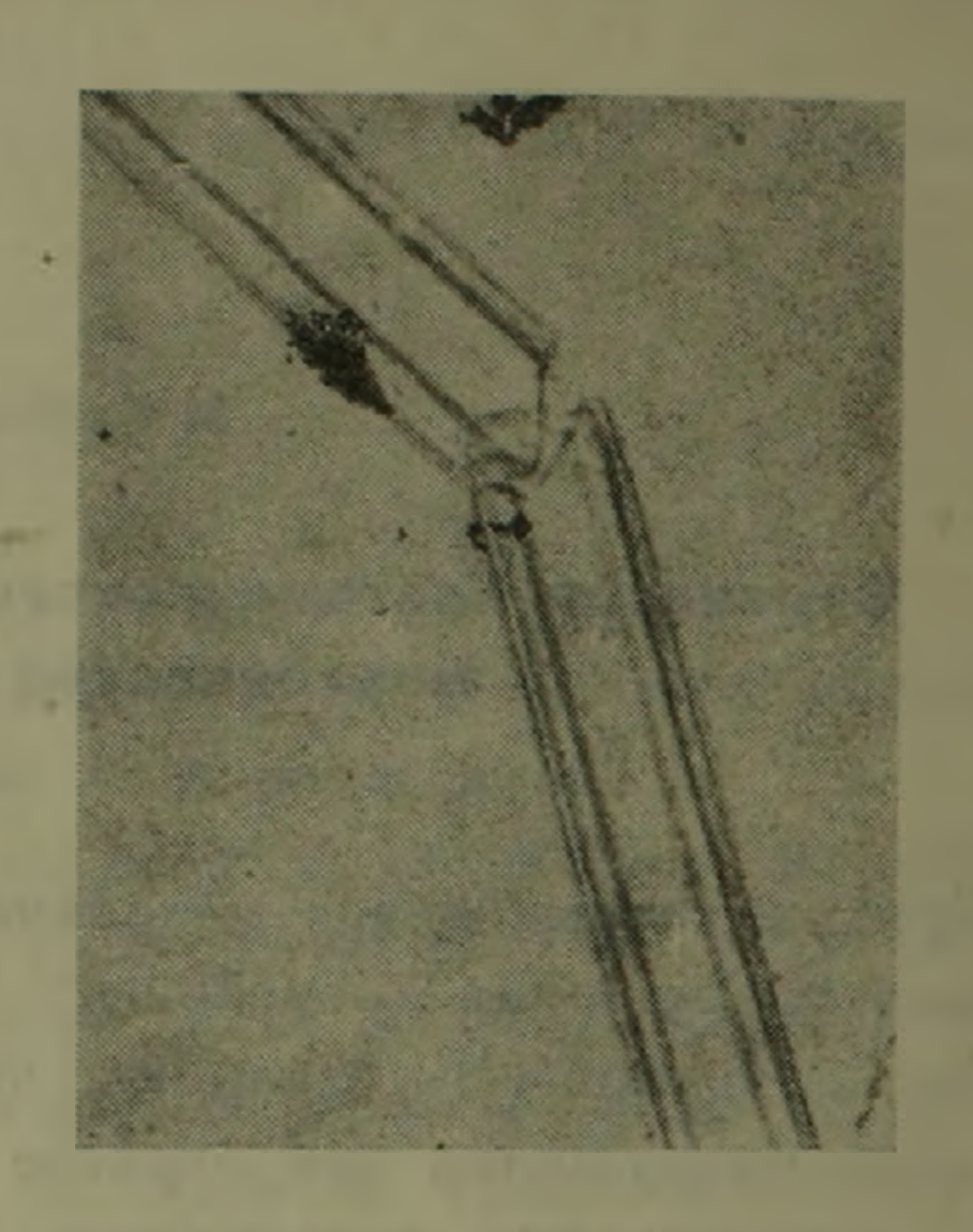


Рис. 2 Мацерированный материал. Излом отдельной трахенды при сжатии вдоль волокон.

Для выявления характера разрушения при сжатии вдоль волокон у лиственных пород была взята береза.

Внешне, характер разрушения при сжатии вдоль волокон у березы напоминает разрушение у хвойных—линия разрушения наклонна на тангентальной поверхности и перпендикулярна к оси волокна на радиальной. До предела пропорциональности никаких изменений в древесине березы не было обнаружено. У предела пропорциональности удалось найти в некоторых образцах начальные деформации, заключающиеся в чуть заметном изгибе волокон, появлении линий скольжения в определенных участках, способности окрашиваться от гематоксилина в темно-фиолетовый цвет, а от сафранина оставаться не окрашенным участком на темном фоне древесины (рис. 3).

Линии скольжения появляются во вторичных слоях клеточной стенки толстостенных волокон либриформа. Однако волокна либриформа противостоят разрушению в большей степени, чем сосуды и сердцевинные лучи. В первую очередь начинают разрушаться сосуды. Это понятно, если учесть, что сосуды представляют собой полые трубки, со стенками, снабженными многочисленными окаймленными порами. Естественно, что сосуды начинают разрушаться прежде, чем толстостенные волокна. При дальнейшем сжатии разрушению подвергаются сердцевинные лучи и волокна, к ним прилегающие. Сердце-

винные лучи являются местами наименьшего сопротивления. Волокна легче всего отрываются от паренхимы луча. Эти деформации, группируясь в одном месте, образуют деформированную зону, как и в древесине хвойных.

Деформации после сжатия вдоль волокон у березы в основном

сходны с деформациями позднего слоя хвойных. Это объясняется присутствием у березы в большом количестве толстостенных волокон либриформа. При разрушении после сжатия вдоль волокон нарушается связь между мицеллами целлюлозы и лигнина, реактив получает доступ к мицеллам целлюлозы и вызывает окрашивание, характерное для целлюлозы.

Это явление аналогично такому же явлению при сжатии вдоль волокон у хвойных.

2. Разрушение древесины при раскалывании. При исследовании образцов древесины сосны после испытания на раскалывание выяснялось, как идет раскалывание образца, зависит ли оно от сердцевинных лучей при раскалывании по радиальной плоскости и в какой части слоя

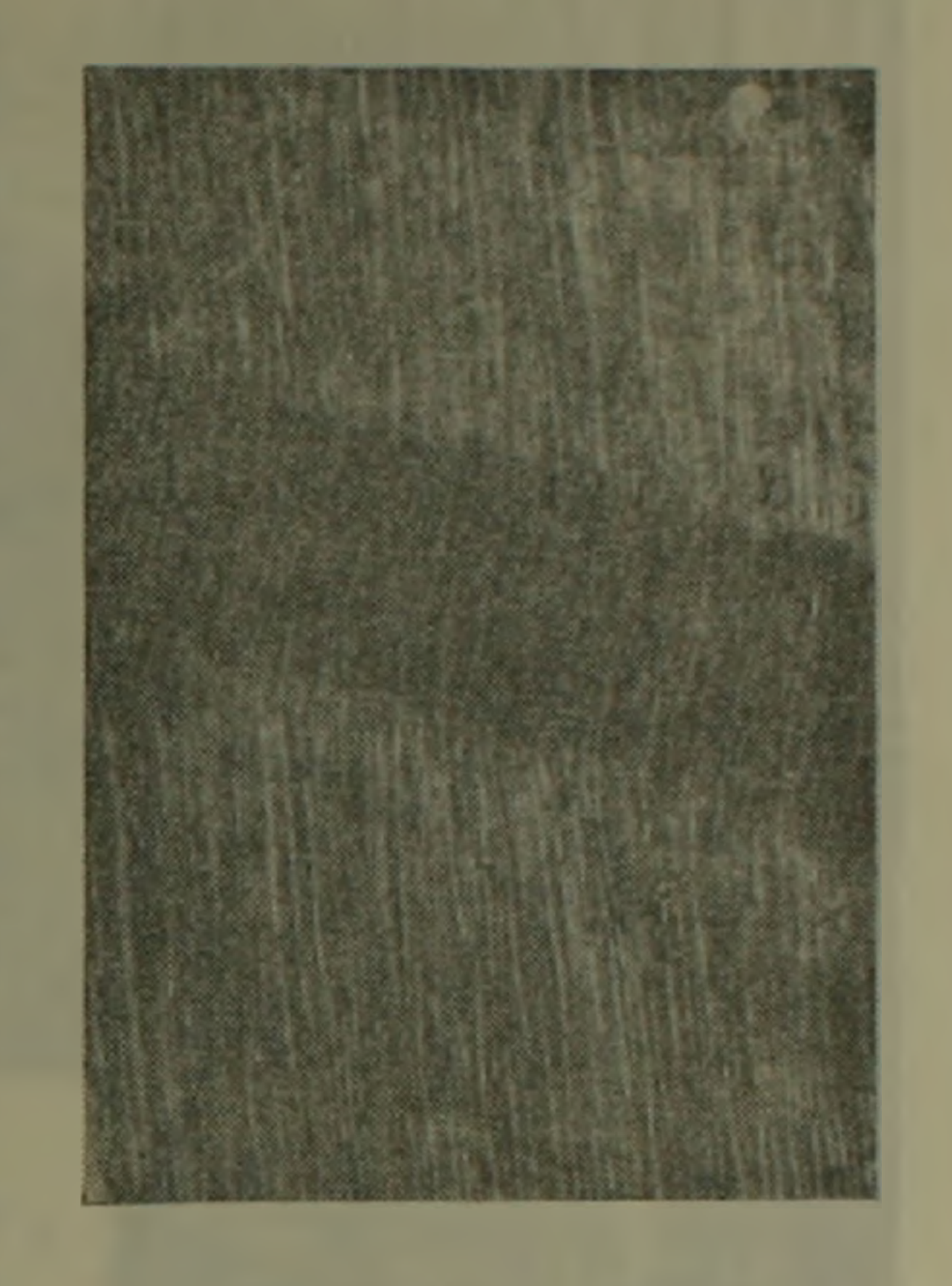


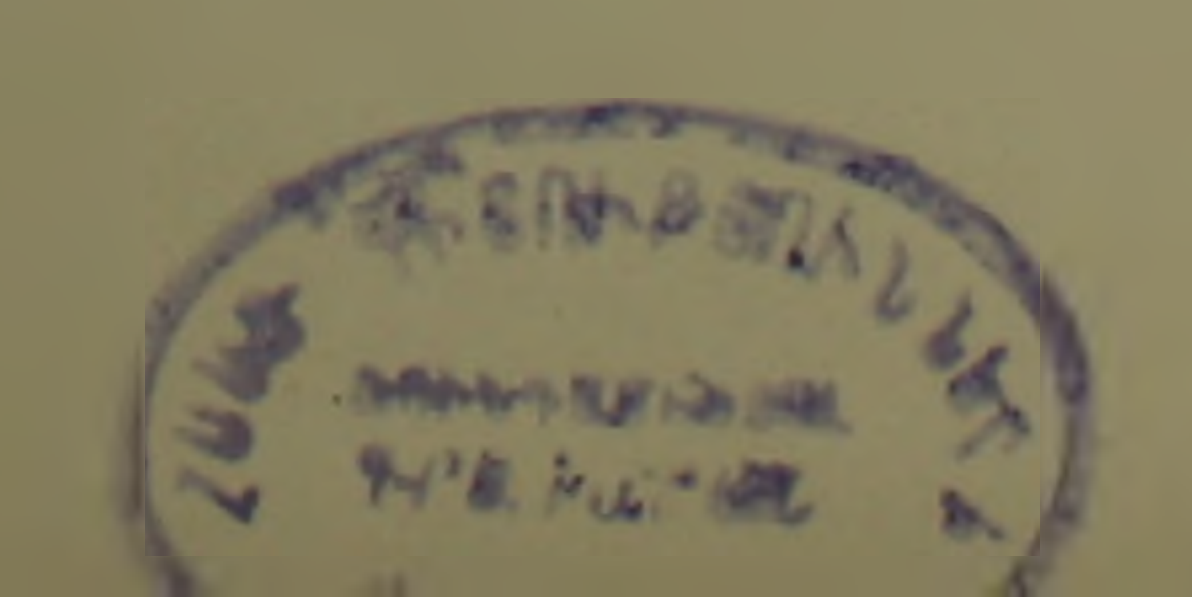
Рис. 3. Тангентальный срез березы, окрашенный гематоксилином. Деформированная зона после сжатия в доль волокон.

идет разрушение при раскалывании по тангентальной плоскости. Для выяснения этих вопросов срезы получались не только с конечной поверхности, но и с того места образца, где начинается раскалывание.

Образцы испытывались на приборе Михаэлиса. Предполагалось, что сердцевинные лучи определяют направление раскалывания, но при исследовании обнаружилось, что линия раскола носит зигзагообразный характер; причем в поздней древесине раскалывание происходит по сердцевинному лучу, а в ранней независимо от него рвутся стенки ранних трахеид (рис. 4).

Разрывы при раскалывании по радиальной плоскости в ранней древесине происходят главным образом по тангентальным стенкам трахеид (перпендикулярным к направлению раскалывания). В поздней древесине, благодаря утолщенным стенкам трахеид, разрыв происходит или по ткани сердцевинного луча или по вторичному слою радиальной клеточной стенки.

Исследование раскалывания в тангентальном направлении показывает, что раскалывание происходит в ранней части годичного слоя древесины. Иногда разрыв происходит почти у самой границы годичного слоя, иногда же на некотором расстоянии от границы. Разрывы в основном происходят посредине радиальных стенок ранних трахеид (перпендикулярно к направлению линии раскалывания).



Следует отметить, что линии раскола под влиянием механического воздействия имеют иной характер, чем трещины, получающиеся при сушке древесины. Такие трещины в радиальном направлении идут

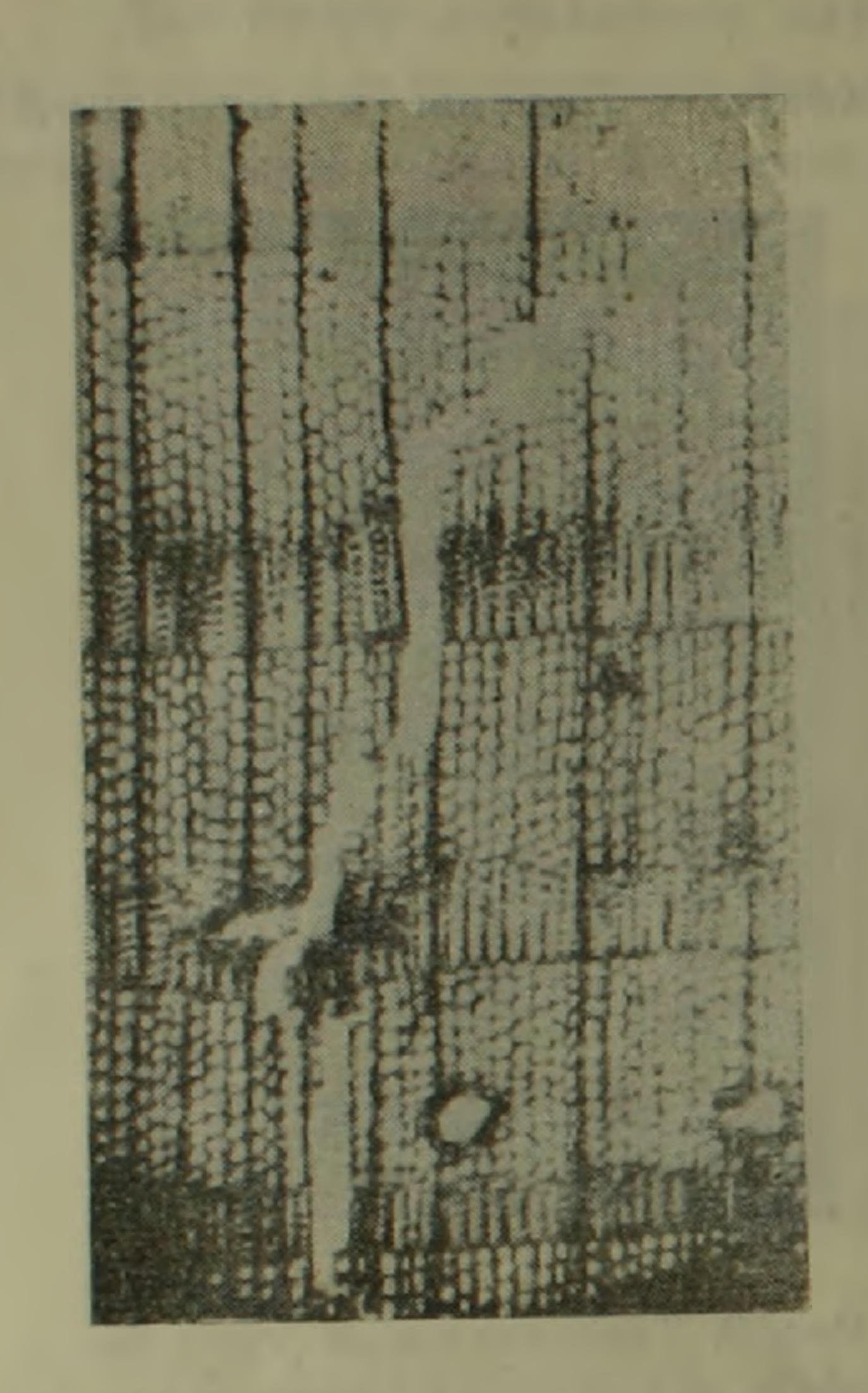


Рис. 4. Поперечный срез сосны. Линии разрушения при раскалывании по радиальной плоскости.

параллельно сердцевинным лучам, как в поздней, так и в ранней части годичного кольца, а не зигзагообразно, как при радиальном раскалывании. Разрывы происходят или по середине тангентальных стенок трахеид (перпендикулярно направлению линии растрескивания), как и в случае радиального раскалывания, или же по сердцевинному лучу (рис. 5).

Следовательно, под влиянием внутренних напряжений, направление линии разрушения при сушке определяется расположением сердцевинных лучей, независимо от того, в какой части слоя происходит растрескивание.

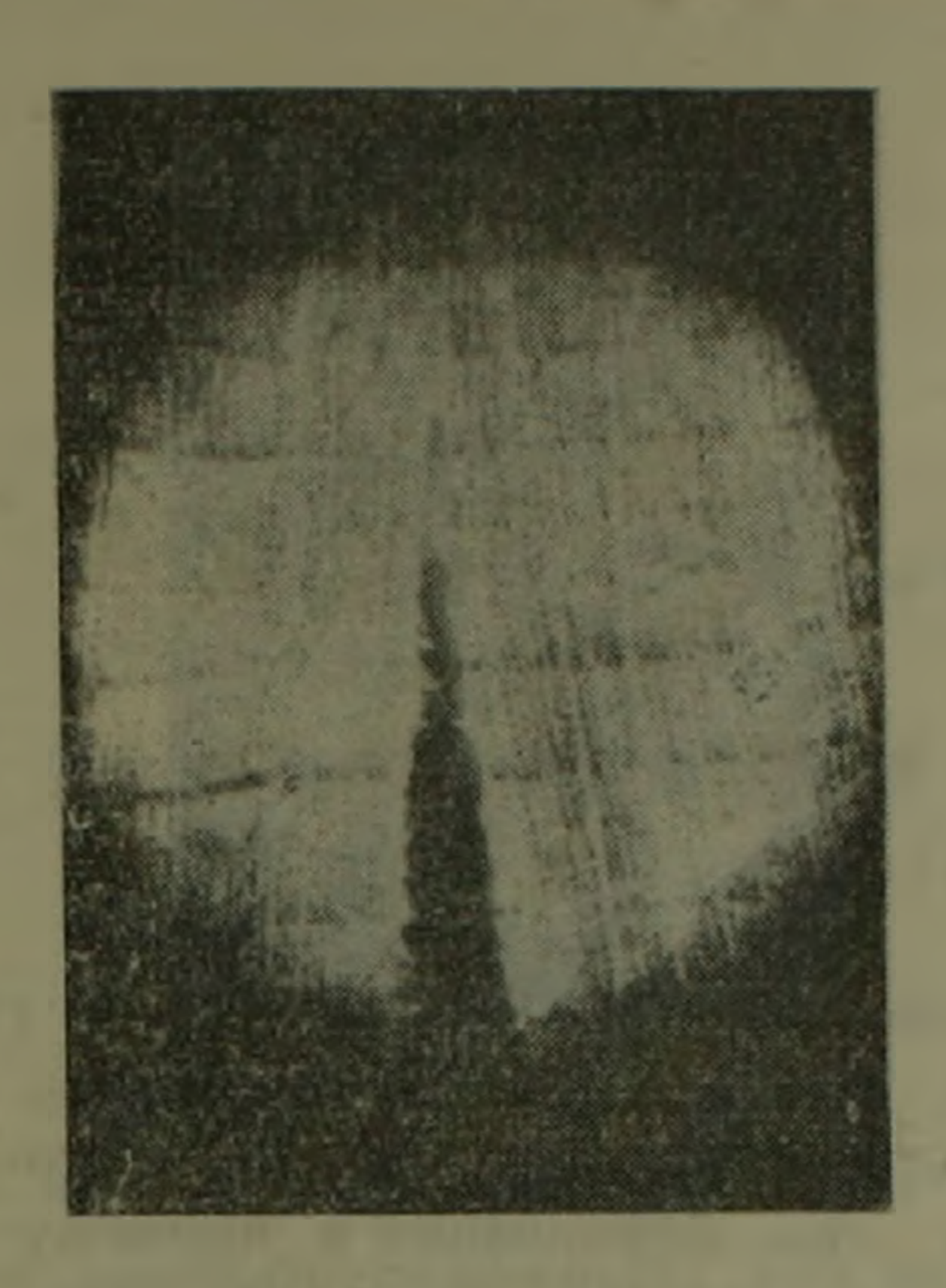
3. Разрушение древесины при растяжении вдоль волокон. Производился анализ конечного разрушения древесины сосны при растяжении. Для этого, места разрывов с прилегающими к ним участками заливались в целлоидин. резались на микротоме и исследовались под

микроскопом. На рисунке 6 заметно, что трахеиды рвуться поперек, иногда под углом к оси волокна. При исследовании под микроскопом заметно, что сдвига клеток не происходит, срединная пластинка остается неподатливой, и областью наименьшего сопротивления являются вторичные стенки трахеид. Плоскости разрывов шероховаты, покрыты как бы нежным пушком. Этот пушок представляет собой отдельные слои фибрилл, получившиеся через продольное расшепление вторичных стенок трахеид. Такое расшепление наблюдалось нами ранее, при исследовании срезов после раскалывания древесины.

Существовало мнение, что при растяжении происходит разъединение волокон друг от друга. Мы уже убедились при исследовании древесины после испытания на раскалывание, что в древесине, не подвергавшейся химической обработке, связы между волокнами более крепка, чем сами волокна. Это положение подтверждается и после исследования образцов, подвергшихся испытанию на растяжение.

4. Статический изгиб. У разрушенного образца сосны можно отметить две зоны: зону сжатия и зону растяжения, между ними лежит нейтральная зона. Напряжения на растяжение и сжатие достигают своего максимума в наиболее удаленных от нейтральной плоскости слоях волокон. В нейтральной зоне имеют наибольшее значение напряжения на скалывание.

При исследовании под микроскопом срезов, взятых из зоны сжатия, обнаружены были деформации, аналогичные возникающим при сжатии образцов вдоль волокон (рис. 7). Темная полоса в верхней части рисунка направо изображает собой деформированную зону в



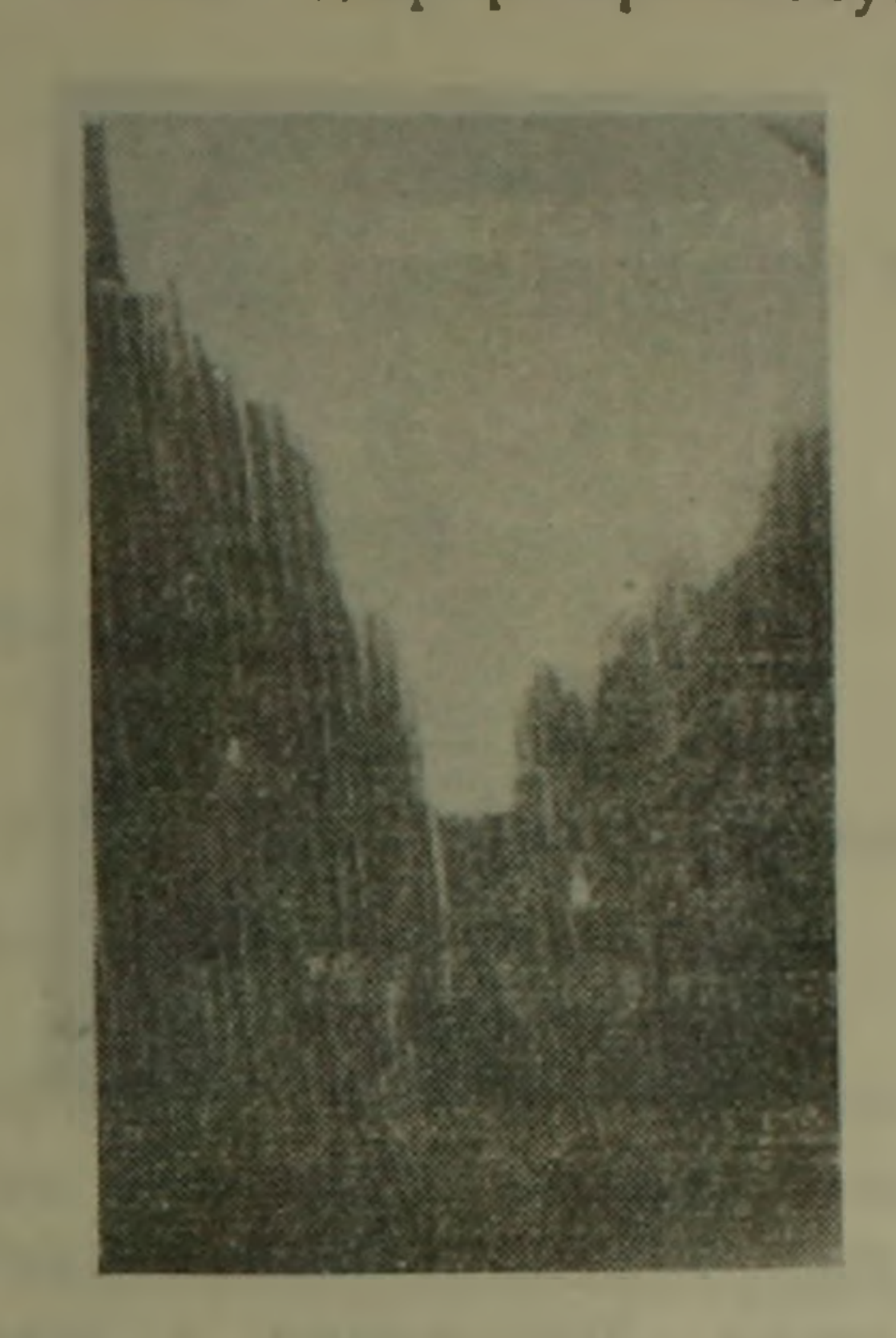


Рис 5. Трещина после сушки образца сосны Снито в падающем свете при помощи эпилампы.

Рис. 6. Тангентальный срез сосны, после испытания на растяжение. Место разрыва.

центре образца, непосредственно под нажимным ножем машины. Здесь, кроме деформаций сжатия вдоль волокон, имеет место смятие от нажимного ножа.

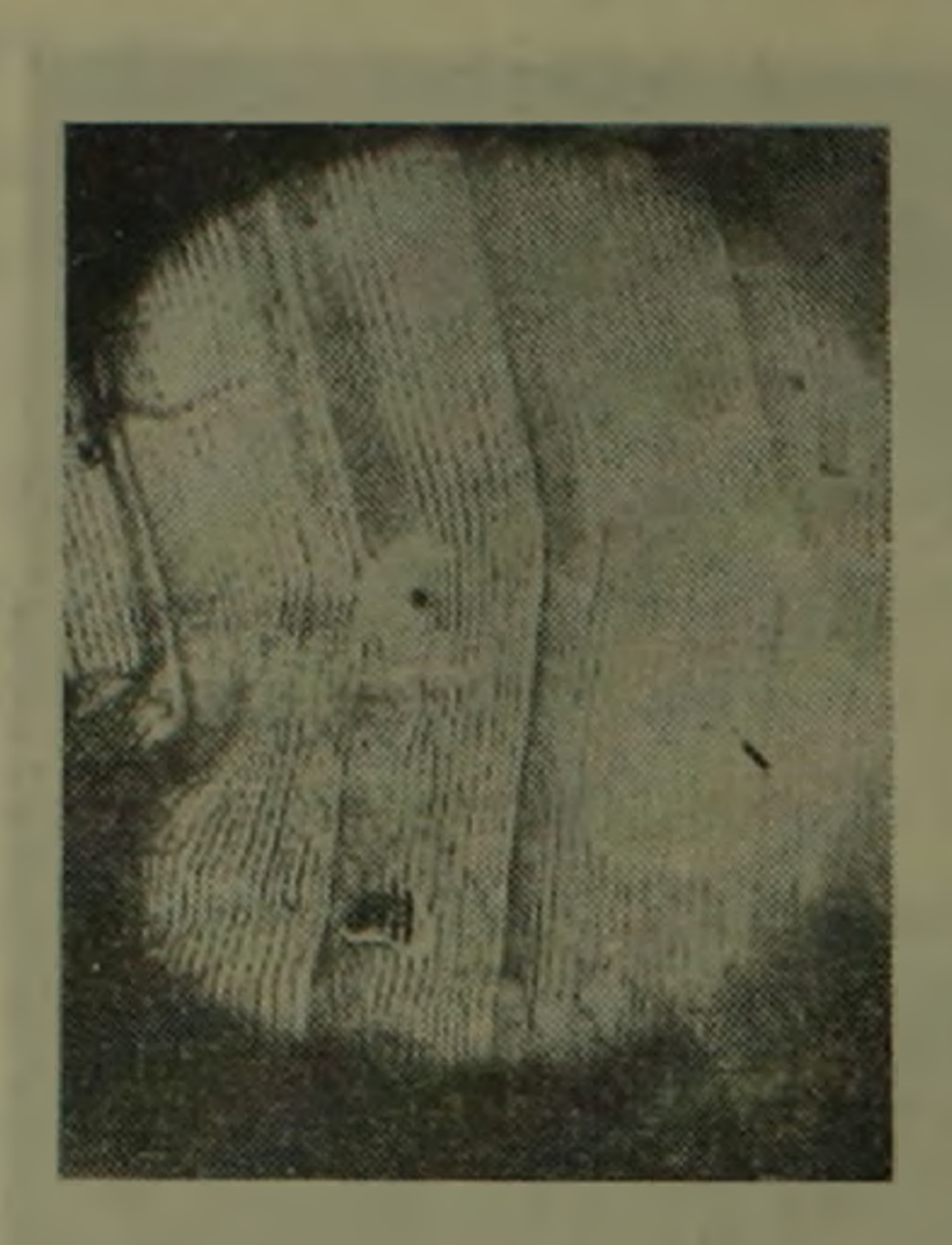
В зоне растяжения наблюдаются деформации, типичные для растяжения древесины, описанные выше. Здесь на протяжении маленького участка, наряду с деформациями, типичными для сжатия, наблюдаются деформации, получающиеся при растяжении вдоль волокон (рис. 8).

Выводы. 1. Подтверждается появление линий скольжения во вторичных слоях трахеид сосны, как первый признак разрушения при сжатии вдоль волокон.

- 2. Обнаружены линии скольжения при сжатии вдоль волокон во вторичных слоях клеточной стенки древесных волокон березы.
- 3. Начальные деформации при сжатии вдоль волокон у сосны и березы обнаруживаются тогда, когда древесина испытывает напряжения, близкие к пределу пропорциональности. При меньших напряжениях структурных изменений не наблюдается.
- 4. У березы при сжатии вдоль волокон в первую очередь разрушаются сосуды, затем сердцевинные лучи и клетки, прилегающие к ним.
- 5. При раскалывании сосны в радиальном направлении линия разрушения идет параллельно сердцевинным лучам в поздней древесине и независимо от них в ранней части годичного кольца.

- 6. При раскалывании сосны в тангентальном направлении разрыв происходит в ранней части годичного кольца.
- 7. При растяжении образцов сосны происходит разрыв стенок трахеид поперек или под углом к оси волокна.





сжатия после испытания на статический изгиб.

Рис. 7. Тангентальный срез Рис. 8. Радизльный срез сососны. Деформации в зоне сны. Деформации в промежуточной зоне после испытания на статический изгиб.

- 8. В древесине, не подвергавшейся химической обработке, связь между волокнами более крепка, чем сами волокна.
- 9. При исследовании образцов после статического изгиба обнаружены деформации сжатия в верхней части образца, деформации растяжения в нижней части и в нейтральной, промежуточной зоне встречаются оба вида деформаций: сжатия и растяжения.

Все образцы изготовлялись и испытывались по ОСТ НКЛес 250.

Центральный научно-исследовательский Лесохимический Институт Химки (Моск. обл.), 1947, декабрь.

4. E. UNUYULBNAU

Բեափայթի անագումիական կազմության փոփոխությունը մեխանիկական ներգործությունների դեպքում՝

Հեղինակը հետաղոտել է բնափայտի անատոմիական ստրուկտուրաների փոփոխությունը գանազան տեսակի մեխանիկական ներդործությունների աղգեցության տակ։ Հետազոտության միջոցով հաստատված է, որ թելիկներն իրենց երկայնության ուղղությամբ որոնության արտանան արտանինը բայրարանիչը բարարարարացին բարարանիչը բարարարան է «ուրաբաւմի դծերի» երևան գալը սոճու արախհիդների թաղանեների երկրորդային շերտերում։ Սահումի րույրախան գցեր բնրար ըրդություն արթությու հայ արդությություն արդություն արդություն արդություն արդություն արդութ րենեսեն շրաթնուց՝ թեե թրինընդրեն որմվաւց թը ինթրե թենանրության ումմու-Just p:

ЛИТЕРАТУРА — ԳРЦЧЦЪПЬ В ПЬЪ

1. Л. А. Иванов. Бот. Журн. СССР, 18, 1933.

IX

1948

5

МОРФОЛОГИЯ РАСТЕНИИ

Авна Иванова

К эволюции нектарников у активоморфвых лютиковых

(Приставлено Л. А. Тахтаджяном 1 IX 1948)

Изучая нектарники у актиноморфных цветков различных представителей семейства Ranunculaceae, мы пришли к выводу, что это семейство имело два пути развития нектароносного аппарата: первый, наиболее распространенный, это развитие нектарников на стаминодиях и второй, более специализированный, на чашелистиках.

Исходным типом первого, т. е. стаминодийного пути развития явились стаминодии типа Actaea. У Actaea spicata имеются хорошо развитые стаминодии, которые выделяют нектар всей поверхностью своей пластинки. На внутренней стороне последней просвечивает буроватая, рыхлая нектароносная ткань, приуроченная в основном к краям и основанию стаминодия. В процессе дальнейшей эволюции нектароносные образования изменялись и усовершенствовались, появились приспособления к накоплению и сохранению нектара.

Исследованный нами род Trollius и близкие к нему роды Hegemone, Callianthemum и Eranthis в отношении нектарников не однородны. Так, в роде Trollius мы наблюдали формы с многолистковыми и немногочисленно-листковыми цветками, причем можно было проследить, что все виды, имеющие большое и неопределенное количество листков околоцветника, имеют и примитивный нектарник в виде еще неприкрытой медовой ямки у основания стаминодия. Виды же с небольшим и более устойчивым количеством листков околоцветника имеют на стаминодиях хорошо выраженный и оформленный кармашек, прикрывающий вход к медовой ямке. Следовательно, в данном случае чем примитивнее общее устройство цветка, тем проще устроен и нектарник.

Из просмотренных нами 14 видов и разновидностей рода Trollius примерно 2/3 от общего числа их (T. patulus, T. Riederlanus, T. japonicus, T. chinensis, T. sibiricus, T. americanus и др.) имеют второй, т. е. менее примитивный тип цветка. Виды: Т. altaicus, T. asiaticus и близкий род Hegemone (H. lilacina) имеют более примитивные цветки и соответственно обладают менее специализированным устройством нектарников.

Интересно, что разделяя виды Trollius на 1) имеющие большое и неопределенное число листочков околоцветника и 2) небольшое и более устойчивое их число, а в связи с этим имеющие в первом случае менее и во втором—более специализированные нектарники, мы видим, что все виды с многолистковыми цветами и менее специализированными нектарниками по своему географическому ареалу приурочены к Сибири и Дальнему Всстоку.

Итак, у Trollius строение цветка и строение нектарников находятся между собою в строгой корреляции. Однако, общее строение цветка не координируется с числом стаминодиев. Как многолистковые, так и немногочисленно-листковые цветы имеют неопределенное и большое число стаминодиев-нектарников. Строение последних у Trollius неодинаковое: от вытянутой закругленной (Т. chinensis) и заостренной (Т. Ledebouri) пластинки до укороченных лопаточек у Т. sibiricus и Т. americanus.

T. altaicus, T. asiaticus и Hegemone lilacina, имеющие многолистковые цветы, имеют просто устроенные стаминодии-нектарники в виде вытянутых узких пластинок с медовыми ямками у основания. Нектароносная ткань развита у них в самой ямке и чуть выше.

T. europaeus имеет медовую ямку уже в средней части стаминодия—нектарника.

Т. јаропісия имеет форму стаминодия в виде вытянутой пластинки с хорошо выраженной глубокой медовой ямкой у основания и с чутьчуть завороченными краями. Стаминодии этого типа характерны тем, что являются, очевидно, зачаточной формой стаминодия далее развившегося у Т. dschungaricus. Последний вид имеет уже более сложно устроенный нектарник, представляющий из себя мясистую пластинку с завороченными вверху краями. В средней части эта пластинка выпрямляется, а к основанию она загибается снова, но только уже с внутренней стороны, и переходит в хорошо выраженный кармашек с медовой ямкой посредине. Верхняя часть стаминодия сообщается с основанием при помощи желобка, что хорошо видно на анатомическом срезе. Эта часть, очевидно, и является вырабатывающей нектар, который затем стекает по желобку и скопляется в медоносной ямке.

T. chinensis—единственный из всех видов этого рода имеет с внешней стороны стаминодия хорошо выраженный киль.

Т. patulus var. alpinus, собранный на высокогорьях Тибета, — один из самых низкорослых представителей этого рода. Стаминодии-нектарники имеют у него форму расширенной кверху лопаточки. Нектароносная ткань, как и у Actaea spicata, расположена с боков в верхней части стаминодия. У основания же мы видим зачаток кармашка, получивший у других видов уже полное развитие.

Итак, какую бы форму не имел стаминодий-нектарник^{*}, медовая ямка, прикрытая или неприкрытая кармашком, располагается у ос-

^{*} Рисунки нектарников и пыльцы выполнены Е. М. Аветисян.

нования его, ниже которого находится ножка. Исключение из этого правила представляет Т. europaeus, имеющий медовую ямку в средней части стаминодия, где она помещается в полуоткрытом желобке.

Если стаминодии нектарники Actaea являются исходным типом

более усовершенствованных нектароносных образований на стаминодиях, то род Trollius с его мясистыми лепестками является исходным для второй линии эволюции именно развития нектароносного аппарата на чашелистиках. Вместе с тем Trollius имеет, как указывалось, хорошо развитые стаминодии, играющие роль нектарников. Многие представители Trollius: Т. Ledebouri, T. europaeus, T. asiaticus, T. dschungaricus, T. japonicus имеют хорошо развитую нектароносную ткань, главным образом, у их основания, где часто мясистость у сугубляется еще и складчатостью. Однако размещение этой ткани не носит еще строго локализованного характера. Так, например, у Trollius patulus мы наблюдали вздутие у основания чашелистика вследствие развития полости между эпидермисом и паренхимой. Вздутие наполнено очень рыхлой и нежной нек тароносной тканью. В редких случаях вздутие имеет боковую щель наподобие кармашка, но большею частью мы встречали у Trollius только первую стадию образования нектарника — замкнутую полость еще без кармашка.

Тенденция перемещения нектароносных образований со стаминодия на чашелистики, в дальней-

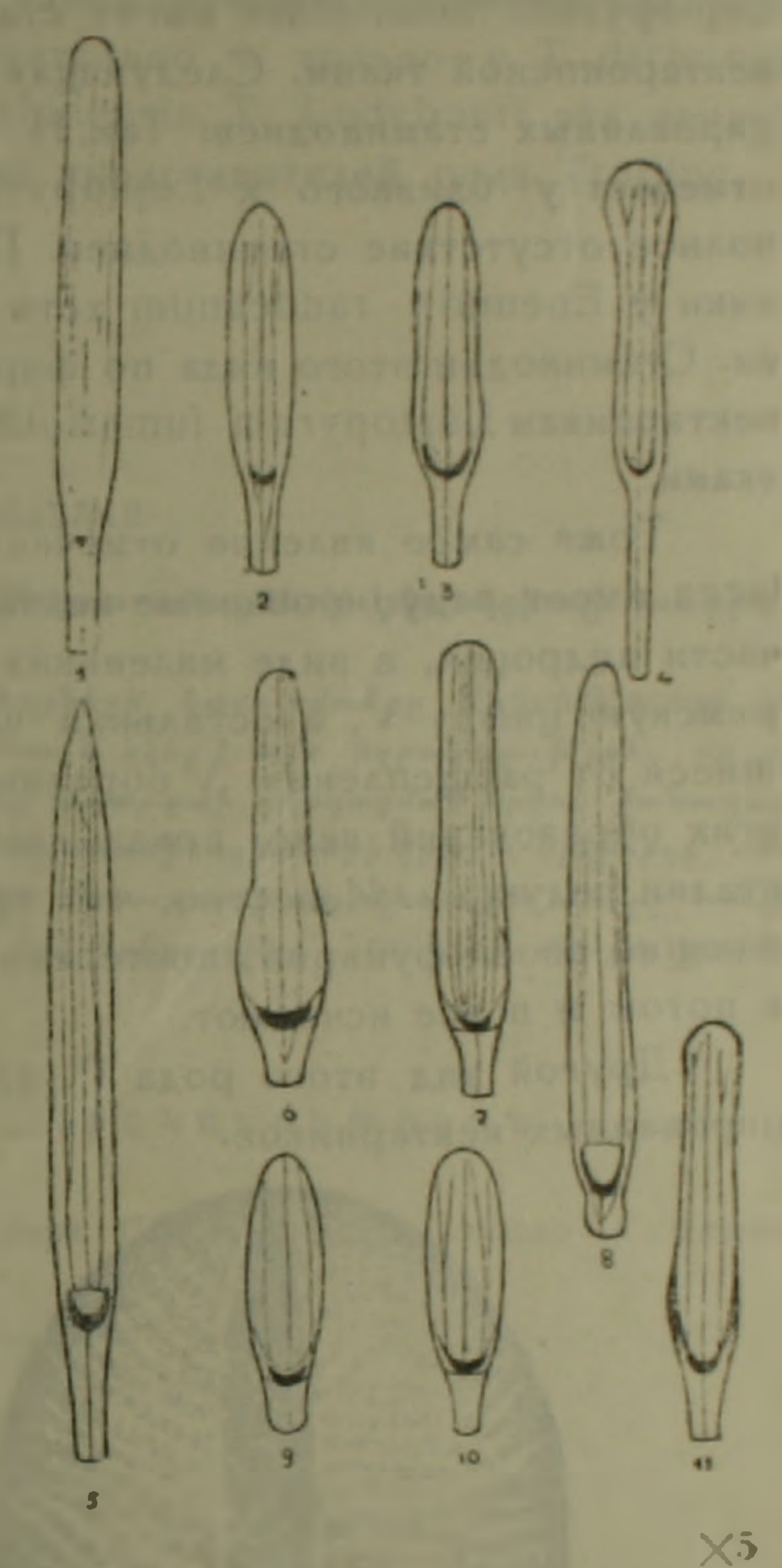


Табл. I. 1—4 Стам инодии-нектарники с медовой ямчой:

1. Trollius asiaticus; 2. T. aliaicus; 3. T. japonicus; 4. T. europaeus;

5—11. Стаминодии-нектарники с кармашками у основания:

5. T. Ledebouri: 6. T. Riederianus; 7. T. patulus; 8. T. chinensis; 9 T. sibiricus; 10. T. americanus; 11 T. dschungaricus.

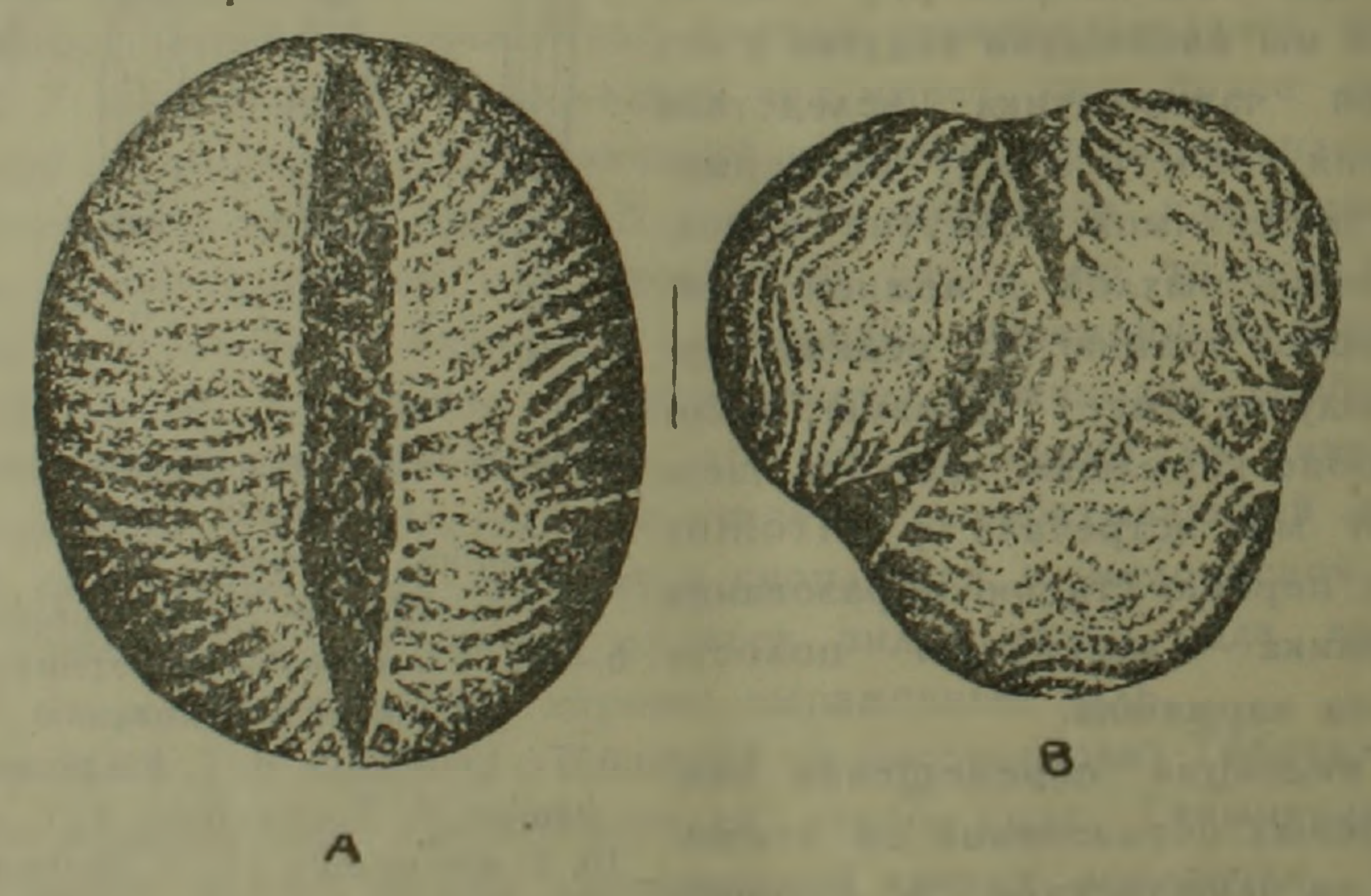
шем процессе эволюции, привела у некоторых розов лютиковых (Callianthemum, Ranunculus) к полной редукции стаминодиев. У видов этих родов мы наблюдаем хорошо развитые нектарники на листочках околоцветника, а стаминодии за ненадобностью уже отмерли. Роды: Ranunculus, Ceratocephalus Ficaria, Callianthemum и др. имеют хорошо выраженные нектароносные приспособления в виде еще неприкрытых

медовых ямок или уже образованных кармашков у основания листочков околоцветника.

Процесс редукции стаминодиев происходит постепенно, и поэтому у некоторых родов можно еще и сейчас проследить их остатки. Так, Leptopyrum fumarioides имеет стаминодии, но они очень мелкие и без нектароносной ткани. Следующая стадия—исчезновение и этих редуцированных стаминодиев. Так, Н. В. Шипчинский во "Флоре СССР" отмечает у близкого к Leptopyrum рода Enemion raddeanum уже полное отсутствие стаминодиев. По нашим же наблюдениям нектарники у Enemion raddeanum хотя редко и единично, но еще встречаются. Стаминодии этого вида по форме, строению и размеру идентичны нектарникам Leptopyrum fumarioides и также не имеют нектароносной ткани.

Тоже самое явление отмечено и для рода Pulsatilla. Так, P. violacea имеет редуцированные нектарники, расположенные в наружной
части андроцея, в виде маленьких щетинок, часть которых напоминает
римскую цифру V, а остальная часть щетинок—единичные, получившиеся от расщепления V образных щетинок. Незначительный размер
этих образований ясно показывает, что они находятся в последней
стадии редукции. Известно, что органы, не упражняемые и не выполняющие своей функции, постепенно превращаются в рудиментарные,
а потом и вовсе исчезают.

Другой вид этого рода P. armena уже не имеет и таких редуцированных нектарников.



Таб II. Пыліцевое зерно Trollius dschungaricus А. вид сбоку; В. вид с полюса.

Попутно с изучением нектарников мы просмотрели пыльцевые зерна 12 видов Trollius (T. altaicus, T. asiaticus, T. sibiricus, T. dschungaricus, T. Riederianus, T. Ledebouri, T. japonicus, T. americanus, T. europaeus, T. chinensis, T. patulus, T. patulus var. alpinus).

Пыльцевые зерна у всех изученных нами представителей этого рода более или менее округлой формы с неглубокими и довольно узкими тремя бороздками (такой тип пыльцевых зерен Кумазава считает примитивным в пределах семейства Ranunculaceae). Как по размеру, так и по скульптуре экзины, напоминающей отпечаток большого пальца, эти виды отличались незначительно и только у Т. dschungaricus, Т. americanus, Т. patulus, Т. chinensis, Т. Ledebouri эта скульптура выражена резче, чем у других представителей рода Trollius.

Ботанический Институт Академии Наук Армянской ССР Ереван, 1948, июнь.

ԱՆՆԱ ԻՎԱՆՈՎԱ

Ակտինոմուն գութնուկացցիների մոտ նեկտասանոցների էվոլուցիայի առթիվ

եղինակն ուսումնասիրել է ճեկտարանոցների կառուցվածքը Ranunculaceae ընտանիքի ակտինումուն ներկայացուցիչների մոտ և եկել է այն եզրակացության, որ այդ
ներկայացուցիչներն ունեցել են ճեկտարարեր ապարատի զարզացման երկու ճանապարհ։
Ապանինը ճեկտարանոցների զարգացումը ստամինոդիաների վրա, և երկրորդը մասնագիտացած բաժակատերևների վրա։ Առաջին ճանապարհի ելակետային ձևերը հանդիսացել են Actaea տիպի ստամինոդիաները, իսկ երկրորդինը Trollius-ի մսալից պսակա
Թերթիկները։

ЛИТЕРАТУРА— ԳՐԱԿԱՆՈՒԹՅՈՒՆ

1. H. B. Шипчинский. Enemion. Флора СССР, 1957, 2. Masao Kumazawa. Japanese Journal of Botany, 8, 1937.

DESCRIPTION OF THE PROPERTY OF



1948

ФИЗИОЛОГИЯ РАСТЕНИИ

В. О. Казарян

Динамика передачи пластических веществ из листьев к пазушным побегам в разных фазах онтогенетического развития у периллы

(Представлено А. Л. Тахтаджяном 18 VIII 1948)

При благоприятных экологических условиях в вегетативной фазе развития рост однолетних растений, начиная с появления первых листьев, прогрессивно ускоряется. Каждая новая порция синтезирующихся пластических веществ непосредственно передается к растущим вегетативным органам, но не для создания запасов, посколько запасающие органы у однолетников отсутствуют. Единственным местом, где накапливаются запасные пластические вещества, у них являются семена, образование которых связано с процессами репродуктивного развития.

С наступлением репродуктивной фазы постепенно замедляется рост вегетативных органов и ускоряется рост репродуктивных органов. В результате замедления образования новых листьев, накопление сухой массы в репродуктивной фазе развития у однолетнего растения значительно замедляется, дальнейший рост осуществляется лишь за счет имеющихся листьев. Однако, как указывает Катунский (3), интенсивность ассимиляции у растений не является константной величиной во всех фазах развития, она увеличивается, по мере наступления репродуктивных процессов. В этот период развития также возрастает интенсивность дыхания, но она всегда остается ниже интенсивности фотосинтеза.

Наши опыты, проведенные в 1946—1947 гг. с краснолистной периллой (Perilla nankinensis), имели цель выяснить характер динамики передачи пластических веществ из листьев к пазушным побегам в разных фазах онтогенетического развития. В первом опыте было взято 14 групп растений, в каждой группе 2 вазона с 2-мя растениями. Все подопытные растения после декапитирования подверглись следующей формовке. На каждом растении были оставлены по 2 супротивных листа одинакового яруса и вновь появляющиеся пазушные побеги удаленных листьев верхнего яруса. Все остальные листья вместе с

пазушными побегами удалялись. Все растения по группам 14 VI были перенесены в условия 9-часового короткого дня, а оставленные пазушные побеги помещались в картонные темные цилиндры, укрепленные на неподвижных металлических штативах. При таких условиях рост пазушных побегов осуществлялся лишь за счет фотосинтетической деятельности оставленной пары супротивных листьев, а вновь появляющиеся листья на пазушных побегах оставались в темноте и были совершенно этиолированные. С начала фотопериодического воздействия через каждые 5 дней у одной группы растений удалялись листья и пазушные побеги. Учитывалось репродуктивное состояние побегов, их сухой вес и площадь листьев, данные которых приводятся в таблице.

Динамика накопления сухой массы пазушных побегов в разных фазах онтогенетического развития у периллы

Таблица 1

No Ve	Дата взятия пробы	Площадь листьев в см ²	листьев	у х о й в в един. площадн листа в см ²	ес пазуш- ных по- бегов	Прирост побегов в 5-дневку	Репродуктивное со- стояние растений при взятии пробы
1	14 VI	42,36	0.136	0,0028	0.0751	-	Вегетация
2	19 VI	43,52	0,1531	0,0033	0.1412	0,0658	99
3	24 VI	39,94	0,1196	0.0037	0,2119	0,0707	
4	29 Vi	42,15	0,1477	0,0043	0,2038	0.6919	Бутонообразование
5	3 VII	43,17	0.1854	0,0044	0,3663	0,1625	Бутонообразование
6	8 VII	42,35	0,1816	0,0043	0.5754	0,2091	Цветение
7	13 VII	46,04	01,887	0,0041	0,5218	0,2464	79
8	18 VII	47.61	0,1904	0,0041	1,1141	0,2923	Семенообразование
9	23 VII	45,3	0,1721	0,0036	1,3836	0,2695	
10	28 VII	47,25	0.1748	0,0037	1,5972	0,2136	Созревание семян
11	2 VIII	48,15	0,1733	0,00 6	1,7515	0,1543	
12	7 VIII	47,05	0,1693	0,0036	1.8531	0,1016	91
13	12 VIII	46,9	0.1641	0,0035	1,0004	0.0473	Полн созрев, семян
14	17 VIII	45,61	0,1597	0 0035	1.9095	0,0091	n

Данные таблицы показывают, что пятидневный прирост сухой массы пазушных побегов резко изменяется в разных фазах репродуктивного развития, при чем в вегетативной фазе развития накопление сухой массы пазушных побегов протекает гораздо медленнее, чем в фазе цветения. Однако, с наступлением плодоношения и следующих за ним процессов старения, вновь замедляется и затем прекращается накопление сухой массы пазушных побегов.

Из таблицы также видно, что аналогичному изменению подвертается и динамика накопления сухой массы каждой единицы поверхности листа. По мере наступления репродуктивной фазы сухой вес

каждой единицы листа возрастает. В фазе бутонизации он доходит до своего максимума, после чего опять уменьшается. Эти данные в полной мере подтверждают наши прежние данные (4), где показывается, что динамика накопления и уменьшения сухого веса на одинаковой площади листа связана с репродуктивным развитием растений. Но хотя после цветения сухая масса на единицу поверхности листа постепенно уменьшается, тем не менее его величина всегда больше величины сухого веса той же площади листьев, находящихся в вегетативной фазе развития.

Объяснение такой специфической динамики накопления сухой массы пазушных побегов в разных фазах репродуктивного развития повидимому следует искать в двух явлениях: 1) имеются многочисленные указания, подтверждающие, что в фазе репродуктивного развития растений резко усиливается гидролизирующая функция ферментативного аппарата листьев, благодаря чему начинается распад как углеводов и белков, так и ряда клеточных компонентов, которые затем передаются для образования репродуктивных органов и семян (1,3,6,18,1) и др.); 2) как уже указывалось выше, при переходе растений от вегетативного роста к цветению резко усиливается интенсивность фотосинтеза, следовательно и накопление сухой массы пазушных побегов листьев.

Таким образом, с одной стороны усиление фотосинтеза, с другой—изменение направленности ферментов в сторону редукции, обуславливают тот быстрый рост пазушных побегов верхних удаленных листьев, который наблюдается в фазе цветения и плодоношения.

В фазе цветения к образовавшимся цветам и семенам продвигаются ассимиляты не только из листьев, но и из остальных частей растений. В этот период развития однолетнее растение мобилизует все свои возможности для увеличения степени плодовитости.

Это было показано во втором опыте, когда дефлорированные и лишенные листьев растения вновь переходили к обильному цветению.

Две группы растений краснолистной периллы подвергались различному фотопериодическому воздействию; растения I группы—оптимальному фотопериоду, растения II группы—неоптимальному. После того, как короткодневные растения I группы переходили к полному цветению, все растения по группам подверглись следующей формовке: у них были удалены все листья, а у растений I группы, кроме того и цветы, оставлялись лишь голые стебли. Затем все растения переносились в условия непрерывной темноты, где и оставлялись до конца опыта. Через 10—12 дней на растениях I группы появлялись многочисленные этиолированные цветущие пазушные побеги, на которых в дальнейшем образовывались нормальные семена. Растения же II группы к этому времени оставались совершенно голыми и отмирали. На приведенном фотоснимке видно растение I группы, которое в условиях

темноты образовало этнолированные цветущие побеги с многочислен-

Этот опыт показывает, что в фазе цветения и семенообразования рост и образование репродуктивных органов осуществляется пла-



Рис. 1.

стическими веществами, которые поступают из стеблевых и корневых частей, в то время как у вегетирующих растений эти части сами нуждаются в пластических веществах для ростовых процессов. Результаты этого опыта также вскрывают одну из причин того быстрого роста пазушных побегов растений, который наблюдается в фазе репродуктивного развития. И, кроме того, подтверждают наши прежние данные, показывающие, что процессы репродуктивного развития у однолетников после определенной фотопериодической индукции осуществляется в условиях не только неоптимальных фотопериодов, но у ряда растений и в условиях отсутствия листового аппарата и непрерывной темноты (1).

На основе результатов проведенных опытов можно притти к следующим выводам:

1. Рост пазушных побегов у периллы в различных фазах онтогенетического развития не происходит равномерно.

В репродуктивной фазе развития и в фазе плодоношения темп роста гораздо выше, чем в фазе вегетативного роста.

- 2. Прирост сухого веса единицы листовой поверхности также увеличивается по мере наступления репродуктивных процессов. Величина сухого веса на единицу площади листа доходит до своего максимума в фазе бутонизации, после чего равномерно уменьшается. Как общее правило сухой вес единицы площади листа перед листопадом больше, чем у листьев находящихся в вегетативной фазе развития.
- 3. После определенной продолжительности фотопериодической индукции дефлорированные и лишенные листьев растения периллы в условиях непрерывной темноты проявляют способность к вторичному цветению и плодоношению, в то время как вегетирующие и лишенные листьев растения быстро отмирают в таких условиях, не выявляя никаких признаков новообразования. Это и является одной из причин резкого усиления роста пазушных побегов в фазе репродуктивного развития.

Ботанический Институт Академии Наук Армянской ССР Ереван, 1948, июнь. Պեւիլլայի թեւնվներից դեպի առման կոնեւը պլասթիկ նյութեւի փոխանցումն օնթոգենեթիկ զաւգացման տարեր մասեւում

Միամյա թույսերի մոտ ղարդացման վեգետատիվ ֆազում, սկսած առաչին տերևները եր երևան դալուց, վեդետատիվ մասերի աճը պրոզընսիվ կերպով արագան ում է։ Նրանց մոտ պահեստային օրգանների բացակայության հետևանքով, պլաստիկ նյութերի ամեն մի նոր րաժին անմիշապես փոխանցվում է աճող վեգետատիվ օրգաններին, առաջին հերթին նոր րաժին անմիշապես փոխանցվում է աճող վեգետատիվ օրգաններին, առաջին հերթին նոր տերևային օրգանների առաջացման համար Զարդացման ռեպրոդուկտիվ ֆազից սկսած աստիճանաբար դանդաղում է վեգետատիվ մասերի աճր—արագանում է ռեպրոդուկտիվ օրգանների աճանդաման ի վերջին հաշվով աղդում է բույսերի չոր թաշի ավելացանների առեմպի վրա, բանի որ դարգացման այդ ֆազում դանդաղում է, իսկ շատ դեպքում էլ բոլորովին կասեցվում է, նոր տերևների առաջացումը, որի հետևանքով չոր նյութեի կուտակումը կատարվում է միայն հին տերևների հաշվին։

Մեր փորձերի նպատակն է եղևլ պարզաբանել պերիլայի տերեներից դեպի տերեդինետիկ գարվացման տարրևը ֆազերում։ Առաջին փոխանցման դինամիկայի բնույթը օնտոդինետիկ գարվացման տարրևը ֆազերում։ Առաջին փորձում 14 խումբ երկտերևային
անընդմատ միության մեջ։ Յուրաքանչյութ 5 օրը մեկ անգամ մեկ խումբ թույսերի մոաից հեռացնելով տերևները և տերևածոցային ընձյուղները, ստացել ենք նրանց չոր ջաշերը, ինչպես և չափել տերևային մակերեսները, որոնց տվյալները թերված են մամապատասիան ավյուսակում (տես ռուսերեն տերստը)։

Մյուս փորձում երկու խումբ բույսերից մեկ խումբը տեղափոխել ենք կարձ օրվա այայմաններ, իսկ սյուսը՝ երկար օրվա այայմաններ։ Կարձ օրվա բույսերի լրիվ ծաղկումից հետո բոլոր բույսերը տերևագրկվել են և համաստասխան խմբերով տեղափոխվել անընդ-հատ մթությանը հնտայված տերևների ծոցերից դուրս են եկել մեծ քանակությամբ նոր ծաղիկներ, որոնք հետագայում կազմել են հատուն սերմեր, իսկ մյուս խմբի բույսերը մահացել են։

Այս փորձերի արդյունքները հեղինակին բերել են հետևյալ եզրակացություններին.

- 1. Օնտոգենետիկ ղարգացման տարբեր հաղերում պերիլլտյի տերևածոցային ըն-Հյուղների աճը չի ընխանում հավասարապես։ Հարդարման ռեպրոդուկտիվ ֆաղում և պըտղակալման ֆազում տերևածոցային ընձյուղների ամման տեմպն ավելի բարձր է քան վեգետատիվ գարգացման ֆազում։
- 2. Տերևի միավոր մակերեսի որ քաշի ավելացումը Նույնպես մեծանում է ռեպթողուկտիվ զարգացման Թևակոխման զուդահեռ։ Տերևի միավոր մակերեսի չոր քաշի մեծությունն իր մաքսիմումին հասնում է կոկոնակալման ֆազում, որից հետո հավասարաչափ իջնում է։ Որպես ընդհանուր կանոն, տերևի միավոր մակերևսի չոր քաշը տերևաթաորկ առաջ ավելի է, քան այն տերևների մոտ որու բ դանվում են զարգացման վեգետատիկ փաղում։
- 3. Որոշակի տևողություն ընձյուղների անը մեծ չափով ո մեզանում է ռեպրողուկտիվ զարհալած և տերևադրկված բույսերը հայարում և հարկակական մինչդես վեգետատի հաղում հանան Այս դանգամանքն իր հերթին հանդիսանում է այս պատճատներից մեկը, որի հահհանան Այս դանգամանքն իր հերթին հանդիսանում է այս պատճատներից մեկը, որի հահ-

ЛИТЕРАТУРА — ЧОЦЧЦБПРЕЗПРБ

1. А. Алеев. Биохимия. 2. в. 3, 1941. 2. В. М. Катунский. Изв. АН СССР. сер. Биологическая, № 1, 1939. 3. В. О. Казарян. ДАН Арм. ССР. 5, № 4, 1946. 4. В. О. Казарян. ДАН Арм. ССР, 7, № 3, 1947. 5. В. О. Казарян. ДАН СССР, 9, №1, 1948. 6. Н. Сисакян и А. Кобякова. Биохимия, 6. в. 1, 1941. 7. А. Смирнов. Табаковедение, Красподар, 1933. 8, Б. А. Рубин и О. Т. Лутикова, ДАН СССР, 27, № 1, 1941. 9. R. Quettel. Rev. Gen. Bot., 50, 1938.



1948

ГЕНЕТИКА РАСТЕНИИ

В. О. Гулканян, действ. чл. АН Армянской ССР и С. Г. Оганесян

Характер расщепления гибридов пшеницы, полученных путем зонального опыления

(Представлено 4 IX 1948)

Различные стебли у куста пшеницы, а также их ткани, генетически разнокачественны (1.2). Разнокачественны также различные зоны колоса. Семена из различных зон колоса дают неодинаковую урожайность, гибридные же семена неодинаковое расшепление (3.4). Нам казалось интересным исследование этих вопросов в связи с биологией цветения и оплодотворения пшеницы и в связи с проблемой расшепления гибридов.

Мы исходили из того, что питание имеет решающее значение в формировании растений. Разность между одинаковыми по происхождению растениями в значительной степени обусловливается их неодинаковым питанием. Разность между отдельными частями растения, в случае пшеницы, — стеблями, листьями, колосьями, — также обусловливается неодинаковым их питанием. По той же причине различие наблюдается в пределах одного стебля и т. д., и это, разумеется, можно бесконечно продолжить, распространив на более мелкие единицы растения, вплоть до клеток, и дальше на их составные элементы.

То же самое явление наблюдается в пределах одного колоса, у которого отдельные части цветка—нижние, средние, верхние, наружные и внутренние—получают неравномерное питание.

Этим и объясняется, во-первых, то, что цветы у одного и того же растения развиваются разновременно. У пшеницы соцветия, т. е. колосья, также развиваются и появляются разновременно. В соответствии с временем появления колосьев и наступает их цветение.

Во-вторых, то, что в колосе колоски и цветки цветут тоже неодновременно. У пшеницы первыми зацветают цветки на средней зоне колоса, а затем на верхней и нижней зонах.

В третьих, в зависимости от времени цветения, а следовательно и оплодотворения, семена, образовавшиеся на различных зонах колоса, могут быть в той или иной мере качественно различными. Поэтому потомства, полученные из семян, образовавшихся в более раннем пе-

риоде развития, будут в какой-то степени иными, чем потомства, полученные из семян, образовавшихся в более позднем периоде. Это явление при гибридизации пшениц обычно не учитывается, что, как нам кажется, оправдать нельзя. При кастрации колосьев обычно удаляются нижние и верхние колоски и оставляются средние, а из последних удаляются внутренние цветки и оставляются наружные. Цветки кастрированных колосьев опыляются пыльцой без разбору, -- пыльца берется от всех зон колоса отцовского растения. Таким образом, средние цветки колоса материнского растения опыляются пыльцой, взятой от любой зоны колоса отцовского растения. Помимо этого, колосья опыляются в один срок, без учета того, что рыльца опыленного колоса созревают разновременно, в силу чего они бывают возрастно разнокачественными. Вследствие подобных различных качеств половых элементов избирательность при оплодотворении может протекать ненормально, что и может, по всей вероятности, отразиться на природе потомства.

В связи с этим был поставлен вопрос—как влияет различная степень зрелости рыльца на ход расщепления гибридов, т. е. как протекает расщепление гибридов, полученных путем опыления цветков разных зон колоса пыльцой, тоже взятой из разных зон?

С этой целью и была проведена гибридизация некоторых пшениц. Для гибридизации были выбраны пшеницы, по морфологии четко отличающиеся друг от друга. При кастрации удалялись верхние и нижние неразвитые колоски колоса, удалялись также внутренние цветочки колосков. Таким образом кастрировались все наружные цветки колоса, сверху до низу.

Для гибридизации были взяты следующие родительские пары:

- 1. 2 гамаданикум Х в эритроспермум (украинка),
- 2. 9 эритроспермум Х 3 суб. меридионале (дир.),
- 3. 2 турцикум Х в эритроспермум (украинка).

Опыт был проведен в трех вариантах. Во всех вариантах опыта колосья после кастрации сейчас же брались в изоляторы. Опыление кастрированных колосьев производилось на третий день после кастрации.

Кастрированные колосья опылялись—в первом варианте—пыльцой, взятой с верхних зон колосьев,

во втором варианте-пыльцой со средних зон,

в третьем варианте - пыльцой с нижних зон,

в четвертом, контрольном варианте—пыльцой, взятой без разбору,—со всех зон колосьев.

При обмолоте каждый гибридный колос разделялся на три зоны—верхнюю, среднюю и нижнюю. Вследствие такого обмолота были получены гибридные семена:

верхние — от опыления верхней пыльцой, средние — .

Из этих семян были высеяны только те, которые были получены при опылении:

верхних цветков — верхней пыльцой, средних цветков — средней пыльцой, нижних цветков — нижней пыльцой и

верхних, средних и нижних цветков - смешанной пыльцой.

Исследование семян остальных вариантов отложено на будущее время.

Семена были высеяны осенью 1946 г., в один срок, в одинаковых условиях.

В таблице I (на стр. 228) приведены результаты анализа растений. Гибридные растения в F_1 -ом существенным образом отличались друг от друга, как по морфологическим признакам, так и по мощности растений и по абсолютному весу зерна. Как правило, средние зерна дали более мощные растения.

Однако, наиболее существенным моментом явилось то, что в F_1 наблюдалось расшепление. Интересно, что расшепление наблюдалось в том случае, когда семена были с верхних или низших зон колоса,— при опылении верхней или нижней или же смешанной пыльцой. В том же случае, когда средняя зона колоса была опылена средней пыльцой—ни в одном случае расшепления не наблюдалось.

С этой точки зрения более интересными являются данные по F_2 , приведенные в таблице 2.

Данные, приведенные в таблице 2, показывают, что растения полученные из семян средней зоны колоса путем опыления пыльцой средней же зоны, расщепились в меньшей степени, чем растения, полученные из семян верхней и нижней зон колоса, опыленных верхней, нижней или же смешанной пыльцой.

Таким образом, мы можем констатировать, что если семена, взятые из различных зон, растения, колоса и т. д., дают поколение, разнящееся по продуктивности, то они, в случае гибридного происхождения, дают различие также по расщепляемости.

Этим самым и объясняется то, что растения, полученные из различных зон колоса, при опылении различной по зональности пыльцой

		Вариант	опыления		80		1 10		1 =
Наименование родит	ельских пар	колоса	зона пылецы	Фракция в F ₃	Количест	Средняя высота растений (см)	Средняя длина ко лоса (см.	Кущение	Вес 1000
? Tr.v.v. hamadanicum × 3 fr.	v. v. erythrospermum	верхияя	верхняя	1. kazvini	16	144	10	6	39,5
				2. hostianum	15	17	9	7	36,2
• X		средняя	средняя	1. kazvini	44	146	9	8	45,1
, X		нижняя	нижняя	1. kazvini	13	144	11	7	25,1
				2 hostianum	15	136	8	7	39,5
Q Tr.v.v. hamad micum × 8 Tr	v v. erythrospermum	верхняя	смешанная	1. hostianum	12	132	8	8	38,8
* × -		средняя		1. hostianum	16	132	8	9	40,0
* ×		нижняя	99	1. hostianum	9	132	8	7	37.8
Q fr v v erythrospermum × 3 T	r v v sub-meridionale	верхняя	верхная	1. sub-hostianum	16	136	10	8	39,0
				2. erythrospermum		138	9	ð	40,2
• X		средняя	средняя	1. sub-hostianum	49	145	10	12	46,4
X		нижияя	нижняя	cen	иена н	не взо	шли		
Tr v v. erythrospermum X & fr	v.v. sub meridionale	верхняя	смешанная	1. sub hostianum	7	142	9	7	40,0
X		средняя		1. sub-hostianum	19	143	10	9	42,5
• X		нижняя		1. sub hostianum	6	13.	9	8	40,0
Q Ir. v. v. turcicum × 3° l'r. v. v.	erythrospermum	верхняя	верхняя	1. barbarossa	9	137	9	8	84,7
				2. lurcicum	3	136	8	7	35,6
= = ×		средняя	средняя	1. barbarossa	46	147	9	9	43,0
· ×		нижняя	нижняя	1. barbarossa	7	138	8	7	40,1

		вариант	опыления		Колич.
Наименование	родительских пар	зона колоса	зона пыльцы	Фракции в F ₂	растенин
Tr. v. v. hamadanicum	X Tr. v. v. erythrospermum	верхняя	верхняя	1. graecum 2. kazvini 3. hamadanicum 4. fuliginusum	3 5 5 8
	×	верхняя	верхняя	5. hostianum 6. meridionale 7 erythrospermum 1 kazvini 2 erythrospermum 3 tuliginosum	6 3 4 14 8 3
	× *	средняя	средняя	4. hamadanicum 1. hamadanicum 2. osutheespermus	5 25 17
***	× •	нижняя	нижняя	2. erythrospermum 1. kazvini 2. erythrospermum 3. hamadanicum	15 12 5
♀ Tr. v. v. hamadanicum	X = Tr. v. v. erythrospermum	верхняя	смешанная	4. fuliginosum 1. hostianum 2. erythrospermum 3. graecum	10 3
	× .	средняя	смешанная	1. hamadanıcum 2. crythrospermum	12 15
	×	К ВНЖИН	смешанная	1. hostianum 2. gpaecum	8
2 Tr. v. v. erythrospermut	n× Tr v. v. sub-meridionale	верхняя	верхняя	3 hamadanicum 1 hostianum 2. sub-aostianum 3. erythrospermum	12 19 5 3
	× .	средняя	средняя	1. sub-hostlanum 2. erythro permum	16
	×	нижняя	нижняя	1. hostianum 2. erythrospermum 3. sub-meridionale	6 4 5
	×. "	верхняя	смешапная	1. sub-hostianum 2. erythroseermum 3. hostianum	9
	У.	средняя	средняя	1. sub-hostianum 2. erythrospermum	15
	× .	нижняя	смешанная	1. sub-hostianum 2. sub-graecum	10
Q Tr. v. v. turcicum	X Tr. v. v. erythrospermum	верхняя	верхняя	3. erythrospermum 1. ferrugineum 2. hostianum 3. turcicum	9 5 7
	× .	средняя	средняя	4. barbarossa 5. erythrospermum 1. barbarossa 2. ferrugineum	9 3 11 8

К статье действ. чл, АН Арм. ССР В. О. Гулканяна и Оганесян Характер расшепления тибридов пшеницы, полученных путем зонального опылсиня". гДАН Арм. ССР , IX, № 5, 1948 г..) дают неодинаковое по морфологии потомство. И это, повидимому, объясняется теми моментами, которые уже были отмечены в начале. У пшеницы развитие наружных цветков средней зоны колоса протекает в условиях более обильного и равномерного питания, чем развитие остальных цветков, и это обстоятельство имеет настолько большое значение, что приводит к получению потомства более мощного и менее расщепляющегося. Наоборот, образование гибридов при более скудном и неравномерном питании приводит к получению сравнительно слабого потомства, расщепляющегося более пестро, чем семена средней зоны.

Возможно ли использование этого явления в целях селекций—покажет будущее.

Исследования по затронутому здесь вопросу продолжаются.

Институт Генетики растений Академии Наук Армянской ССР Ереван, 1948, август.

Վ. Z. ԳՈՒԼՔԱՆՅԱՆ ԵՎ Ս. Գ. ՀՈՎՀԱՆՆԻՍՅԱՆ

Ցուենի հիբւիդների ռեզքավուման բնույթը զոնայական փոշուման դեպքում

Գրականությունից հայտնի է, որ ցոլենի հասկի տարբեր զոնայից ստացված սեր-

դրևն ատևերև բր ինրբն դրջունյաղն ը նրևճաավունյաղն։

տրոնք իրենց պահանանարայով անաշտրկանը որոներնաւդ է չառին այնչեր մարային ը ատանացվուղ գրութն դանանի է՝ ան մարդեր ցանիաւդ այն չիների չանարագրայան այն չիների չեմ ճարմեր է արմեր և արարդար այն չիների չեմ ճարմեր և արարդար այն չիների չեմ ճարմականումը՝ անանանան արարդության գարդարանան այն չիների չեմ ճարմականումը՝ արարդար այն չիների չեմ ճարմականումը՝ արարդության այն չիների չանականումը՝ արարդությանն արև չեն արև չեն արև չեների արև չեների չեների

Վերցրել ենք հետևյալ ծնողական զույսերը.

1. 🧸 համադամիկում 💢 💍 Էթիտրոսպերմում (Ուկրաինկա)

ոսշե-ղբերահոսութերութ

3. Չ տուրցիկում 🗶 💰 Էրիտրոսպերմում (Ուկրաինկա)։

Փորձր կատարել ենք չորս վարիանտով։

Առաջին վարիանտում կաստրացիայի են Թարկված հասկերը փոշոտել ենք հայրահաս ասկերի վերևի գոնայից հավաքած ծաղկափոշով,

րենանմաւց, որենը մարտյի ջամիափանով, թենանմաս, որենը մարտյի ջամիափանով,

չարրորդ՝ ստաւդիչ վարիանտում կաստրացիայի հեղարիկած հասկերը փոշոտել ենք

շիրըիդային սերմերից ցանել և ուսումնասիրել բան փոշտողան չբարյալ վարիանտ-

որեն ուսանվաց որևը

հասկի վերին զոնա-փոշոտված վերին գոնայի փոշով,

հասկի միջին զոնա-փոշոտված միջին զոնայի փոշով,

հասկի ատորին գոնա-փոշոտված ստորին գոնայի փոշով,

հասկի վերին, միջին և ստորին գոնա-փոշոտված խառը ծաղկափոշով ։

Տարրեր զոնայի ծաղկափոշով փոշոտելուց ստացված հատիկները Թողել ենք հետագա

ուսուննասիրությունների համար։ Այս ձևով ստացված բույսերը Բչ-ում ծկատելի կերպով տարբերվում էին իրենց հղորությամբ և հատիկների տեսակարար կչռով։ Ամենից կարևորն այն է, որ հասկերի վերին որը չնկատվեց միջին զոնայից ստացված թույսերի մոտ։

Այս տեսակետից ավելի համոզիչ տվյալներ ստացվեցին է -ում։ Պարզվեց, որ հասկի վերին զոնան վերին զոնան — ստորին զոնայի ծաղկափոշով փոշոտելու դեպքում և ատրին զոնան — ստորին գոնայի ծաղկափոշով փոշոտելու դեպքում ստացվում են այս բույսերի ճեղջավորումից, որոնք հարցավում են հասկի միջին զոնան միջին զոնայի ծաղկափոշով փոշոտելու դեպքում, Այն ժամանակ, երբ վերին և ստորին զոնաների բույսերի ճեղջավորումը մեր փորձում հասավ 3 — ֆրակցիայի, միջին զոնայից ստադված բույսերի չանցավ 2-ից։

Այստեղից պետք է եզրակացնել, որ հասկի տարբեր զոնաներից ստացվում է տարեր որակե սերունու Այս երևույթը, հավասական է, պետք է բացատրել նրանով, որ բույսի վեգետացիայի ընթացքում հասկի միջին զոնայի ախտաքին ծաղիկների, իսկ բեղմնակորումից հետո հատիկների զարգացումը ընթանում է առատ և հավասարաչափ սնման պայմաններում, որի հետևանքով, առայացող սերունդը լինում է համեմատաբար փարթամ ու միատարը և քիչ ճեղջավորվող, իսկ եքը հիրթիդի ձևավորումը կատարվում է սուղ և անհավասարաչափ սնման պայմաններում, որը տեղի ունի հասկի վերին և ստորին ծաղիկեների մոտ, ապա ստացվում է համեմատաբար խույլ և խայտաքղետ սերունդ, Կարելի է, արդյոջ, այս երևույթը օգտագործել սելեկցիայի նպատակների համար, ցույց կտա ապա-դանու

Այս հարցի ուսու Ֆասիրու թյունը շարու հակվում է։

ЛИТЕРАТУРА— ԳՐԱԿԱՆՈՒԹՑՈՒՆ

1 *Н. Д. Мухин.* "Яровизация", № 4—5, 193 . 2. *С. А. Погосян.* "Яровизация", № 4—5, 1958. 3. П. М. Тихонов. "Яровизация", № 3, 1941. 4. *Н. Л. Удольская.* "Яровизация", № 3, 1941.

the last the first the first the same of t

PARSUUPP SUBSIGUE.

I. S. Pasmrjub

ԺԱՌԱՆԳԱԿԱՆՈՒՔՅԱՆ ՓՈՓՈԽՈՒՔՅՈՒՆՆԵՐԸ ՍԵԽԻ ԵՎ ԴԴՈՒՄԻ ՎԵԳԵՏԱՏԻՎ ՀԻԲՐԻԴԻԶԱՑԻԱՅԻ ԴԵՊՔՈՒՄ

(ներկայացրել է Վ. Հ. Գուլքանյանը 4 IX 1948)

Վեգետատիվ հիրրիդներ ստանալու նպատակով 1942 թ. սեխը պատվաստեցինք դղումի վրա։ Պատվաստման ժամանակ պատվաստակալի բույսերն ունեին երկրորդ իսկական տերևներ, իսկ պատվաստացուները՝ չաբիլատերեներ։ Կատարեցինք ۸Օ պատվաստ հետևյալ կոմբինացիաներով.

1. Շալախի խմբին պատկանող սեխ (տեղական) »

Tyned « 9 bpb podwory

2. Սեխ «Համբյար»

Tyned a Mbph fulumyus

Որպես ստուգիչներ հանդիսացան մաքուր ծնողական ձևերի րույսերը՝ աճեցրած միևնույն պտղից։

Մայիս ամսում պատվաստված բույսերը դաշտ տեղափոխեցինք, ըստ որում 1-ին կոմբինացիայից 19 բույս։ Պտուղների հասունացման ժամանակ մենք նկատեցինք, որ 1-ին կոմբինացիայոց 5 բույս։ ցիայի 19 պատվաստված բույսերից մեկի պտուղը շատ ուժեղ փոփոխված է. ձևով նա դարձել էր դնդաձև, մաշկը և միսը ընդունել էին դղումին հատուկ նարնջի գույն, անհայտացել էր պտղի մաշկի վրայի սեխին հատուկ ցանցը և ընդունել էր դղումի մաշկի հարժ և փայլուն տեսքը, քաղցը համը դարձել էր դղումի նման անախորժ և

ատցիայի ընթացքում տվեց միայն այդ նշված պտուղը, իսկ պատվաստակալը ուներ մեկ լավ զարգացած ձյուղ, առանց պտղի։ Հավանական է՝ փոփոխված պատվաստացու տեղական սեխը մեծ մասամբ աձել ու հասունացել էր պատվաստակալի սննդանյութերով, որի հետևանքով էլ կրել է այդպեսի փոփոխություններ։ Այս կոմբինացիայի մյուս պատվաստված բույսերի պատվաստացուները փարթամ էին, մեծացած ծաղիկներով ու պտուղներով, որոնք, շնորհիվ իրենց առատ տերևների, զարգացել էին ի հաշիվ հրենց ասիմիլիանտների և այդ իսկ պատձառով նրանք փոփոխություններ չէին տվել։

Երկրորդ կոմբինացիայի.— Սեխ «Համբյար» Դղում «Պերեխվատկա»

որությանը կատարվեցին հետևյալ աշխատանքները.—

^{*} Գծից վերև ցույց է տրված պատվաստացուն, գծեց ներքև՝ պատվաստակալը։

Պատվաստված 5 բույսերից 2-ի վրա, վեգետացիայի ընթացքում, պատվաստակալների և պատվաստացուների ճյուղերը ծերատեցինք, հեռացըըինք պատվաստակալների բոլոր ծաղիկները, իսկ պատվաստացուների
տերևներ, նպատակ ունենալով հարկագրել պատվաստացու սեխերին իրենց
պարզացման ընթացքում ավելի շատ օգտվել պատվաստակալի՝ դղումի
սննդանյութերից։ Մնացած 3 պատվաստված բույսերը ծառայեցին որպես
ստուգիչներ։ Պատվաստված և ասիմիլացիոն մակերեսի տեսակետից կանոնավորված բույսերի պտուղները հարկագիր ձևով աձևլ ու հասունացել էին
պատվաստակալների ասիմիլիանտների հաշվին։ Պտուղներն իրենց բնույթով փոխվել էին և համով, մաշկի ու մսի գույնով մոտեցել պատվաստակալին՝ դղումին։

Ստուգիչ Թողնված բույսերի մոտ նման փոփոխություններ չնկատվեցին։

1943 թ. ըոլոր վեգետատիվ հիբրիդներից ստացված սերժերը ցանեցինք որպես առաջին սերունդ։ Թե՛ 1-ին կոմբինացիայի և թե՛ 2-րդ կոմբինացիայի փոփոխված հիբրիդների պտուղները 1-ին սերնդում ձեղքավորվեցին ըստ պտուղների ձևի, համի, ժայկի և ժսի գույնի։ Հիբրիդների ճեղքավորժան երեք տիպ երևան թերեց 1-ին կոմբինացիան և 5 տիպ՝ 2-րդ կոմբինացիան (տես աղյուս 1)։

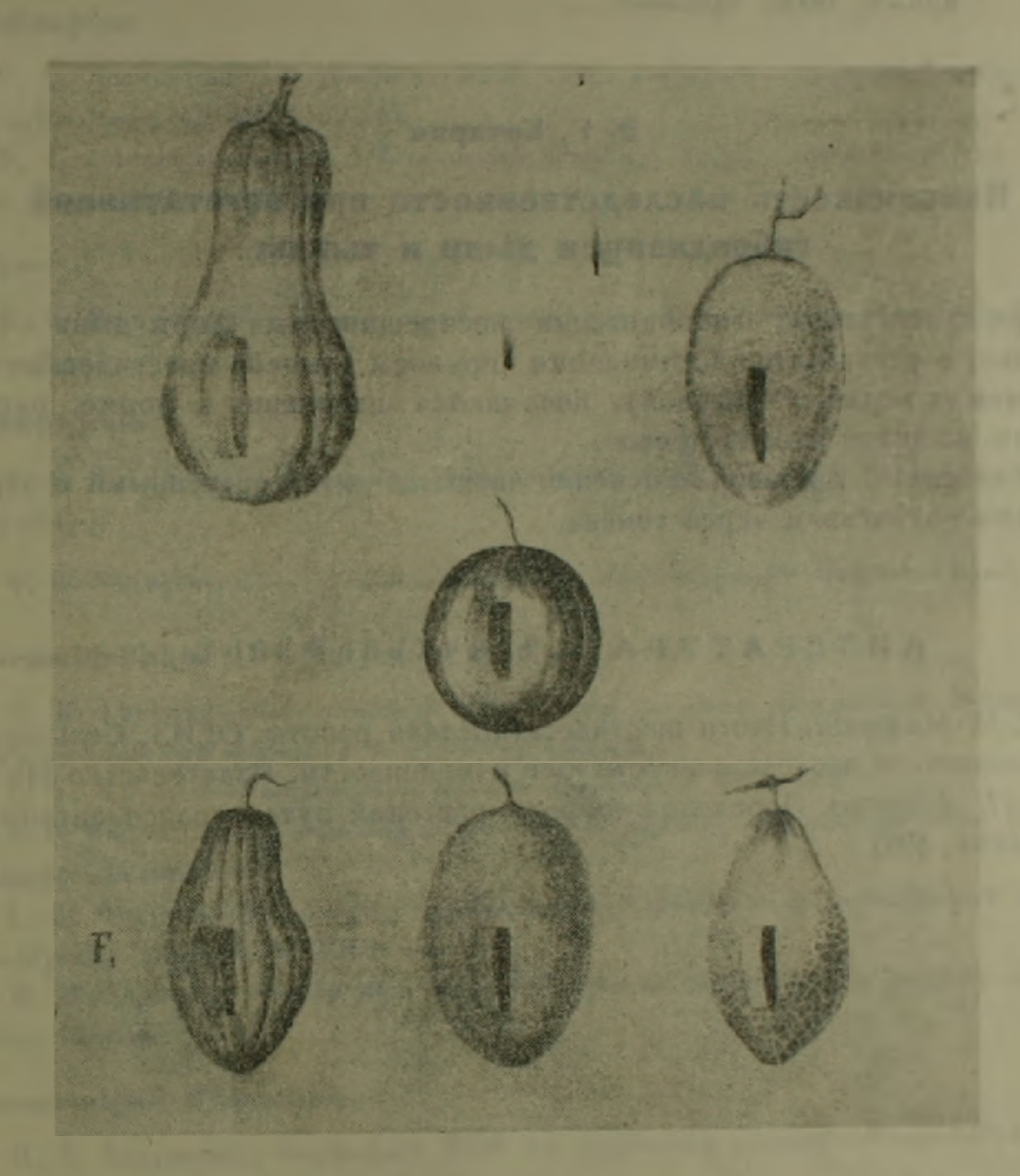
Աղյուսակ 1 Սեխի և դղումի վեդետատիվ հիրթիդների ձևղքավորումը 1-ին սերնդում

b - 1 - 1 5 1 1		ก เกา การ การ การ การ การ การ การ การ การ ก	ի ձեղքավորո	Imp Pauribe	
4 п б д р в ш д р ш	Տիպը	24 _C	Մ ω շ կ ի գու յъ́ ը	ע הוף קייר ז'ניף	2 ய சி ந
1-ին, Ոհի տեղական		Տանձաձև	2001296	रेक्टा करी।	Trusma
Tyned & Thebludwales	2	1 1/2 -1	1-151	Սպիտակ	Ob pour Sund
	3	Երկար	Fwy 7h7-	Chine Wilde	
	- 400	રેતૃ મા હે હ	Emilury.		An orally desirable
2-pq. 116/10 « Zand p jamps	1	21/1124	Նարեջի	புடியிரிய	Padarand
Դղում « Գերեխվատկա»	2		11 1/1 3 m 12	Mary South	fwqgp
	3		Դեղնա- Նարնջի		Tydasad
	4		ไพ คูน26	Սոլիտակ	f w 19 C
	5		Դեղնա- Դարնջի	-4-3	31
Ստուգիչ «Դղում» Պերեխվատ,	A THE REAL PROPERTY.	Տանձաձև	ՆաթъՉի	Նարնջի	<i>โกรม</i> พระม
» Սևի տեղական		ம் ஓடிய நயர் கடங் வர்ய வடி	Բաց դեղնա. վուն (ցան- ցապատ)	Սալիտակ	Միջակ քաղ- ցրութ. (սե-
Սեխ Համքյաթ		24ய26	Դեղնա- Նարնջի	Սալիտակ	f-wqgp

Աղյուսակում Նշված 1-ին կոմբինացիայի 1-ին տիպի պտուղները ձևով, մաշկի ու մսի գույնով և համով նման էին դդումի, 2-րդ տիպի ատուղները ձևով և մաշկի դույնով նման էին դղումի, իսկ մսի գույնով և համով նման էին տեղական սեխի, 3-րդ տիպի պտուղները ամբողջապես աման էին ստուգիչ սեխ տեղականին։

չեն բերված։ Կային և այնպիսի ձևի պառցապատ ժաշկը։ Նման ձևեր աղյուսակում

Առաջին կոմբինացիայում ստացված հիբրիդների հիմնական ձևերը տրված են նկար 1-ում։



Նկ. 1. Ժառանգականության փոփոխությունները սեխի և դղումի վեգետատիվ

Առաջին շարքում արված են ծնողական ձևերը. ձախից աջ—պատվաստակալ՝ դղում «Պերեխվատկա» և պատվաստացու՝ սեխ տեղական։

ընինոնմ Հանծուղ, առավառադար ատնուղ, առավառաարնանի տոմեր-

ունյան ատի փոփոխված աբմանար որին։

ըիդնևրի ձևևրր։

Աղյուսակում նշված 2-րդ կոմբինացիայի 1-ին սերնդի հիբրիդային ատուղները նույնպես իրենց համով, մաշկի և մսի գույնով փոփոխվել էին, լին,

դառատիտել, վրեր երևվագ փառաբեն խոսուդ բը տնրդառիր, ոն պատ-

ցուի վրա, փոխում են նրա ժառանգականությունը (՝՝) Բացի այդ, այստեղ հետաքրքրական է նչել, որ սեխն ու ղղումը, ինչպես հայտնի է, սեռական հանապարհով հիթրիղներ չեն տալիս, մինչդեռ վեդետատիվ հիթ-

Ստացված հիբրիդների 2-րդ և հետագա սերունդների ուսումնասի.

பாட்டு பாடிப்பட கோப்பார்க்கர்

Հայկական ՍՍՈ Գիտությունների Ակադեմիայի Բույսերի գենետիկայի ինստիտուտ Երևան, 1948, օգոստոս

Э. Г. Кочарян

Изменчивость наследственности при вегетативной гибридизации дыни и тыквы

- 1. При вегетативной гибридизации нескрещиваемых форм дыни с тыквой, в год прививки, в результате ассимиляции привоем (дыней) пластических веществ, вырабатываемых подвоем (тыквой), получаются изменения в форме, окраске кожи и мякоти, во вкусе плодов привоя.
- 2. Полученные у привоя изменения являются наследственными и передаются последующим поколениям через семена.

литература — Чошчитыры вырты

1. И. В. Мичурин. Итоги шестидесятилетней работы. ОГИЗ, Сельхозгиз, 1936. 2. Т. Д. Лысенко. О наследственности и ее изменчивости. Издательство НКЗ СССР, 1943. 3. С. П. Лебедева. Переделка природы растений путем трансплантации. Сельхозгиз, Москва, 1937.

FN-LUZHUHNFB3NFZ IX ZUSNPF

Մաթիմաջիկա	1.2
Ա. Լ. սահինյան, Հայկակած ՍՍՌ ԳԱ իսկակած անդամ Ֆունկցիաների քվաղի-անալիտիկ մի դասի մասին Գ. Հ. Համբաrձումյան Պուասսոնի խնդիրը երկու պատահարճերի համար և նրա կիրառությունները	48
Շիզիկա	
Ա. Կ. Թովմասյան — Հույսի րազմապատիկ ցրման խնդիրը ֆլուորեսցենցիայի առկայության ղեպքում .	145
Ասթունիզիկա	
Ի. Ե. Թումանյան—Մի քանի բաց աստղակույտերի գրավիտացիոն պոտենցիալ Էծերգիանե րը	2
Գ. Ա. Գուբզարիյ ան— L _z - ձառագայթեումը միջաստղային տարածութեյան մեջ	151
ելեկուացիանիկա	
Մ. Մ. Լեբեդեվ – Տոպոլոգիայի կիրառումը բաշխող սարջավորումների կոմու- տացիոն սխեմաների անալիզի և սինԹեզի համար	97
ե. Մ. Վիլչուբ—Շան <i>թա</i> հարությունը Հայկական ՍՍՈ-ում	157
Հ. Բ. Բաբախանյան—Հաճախականության սպառիչ-կարգավորիչները էլեկտրա- էներգետիկ սիստեմում . Հ. Մ. Վիլչուր—Ամպրոպային պարպումների տեսակների քանակական հարաթե-	163
լ. Ե. Վրլչևա— ծեսկրոսլայրն պարպունները տենազմարը քանական մարաքներ րակցությունը Հայկական ՍՍՌ-ում	193
րումների համար	199
Շինաբաբական մեխանիկա	
Ա. Դ. Նազաբյան, Հայկակած ՍՍՌ ԳԱ Թղթակից անդամ—Թաղանթների տե-	
սության մի քանի կոնտակտային խնդիրներ	61
Ն. Խ. Հաբությունյան <i>—Պոլիգոնալ ընդլայնական կարվածը ունեցող ձողերի</i> այորման խնդրի յուծումը	67
Ս. Ա. Համբարձումյան — Սիմետրիկ բեռնված պատման անիզոտրոպ ԹաղանԹներ	203
Հիդ ւո էնեւգեթի կա	
վ. Պ. Մաստինով—Հիդրոելեկարակայանի և շիդրոեներգոսիստեմի ջրա-էներ-	
դրության մեջ՝ էլեկտրասպառման ռեժիմի սեզոնային սահմանափակումների դեպքում՝ դրության մեջ՝ էլեկտրասպառման ռեժիմի սեզոնային սահմանափակումների դեպքում՝	11 55
Ֆիզիկական քիմիա	
Ա. Բ. Նալբանդյան — Մեթեանի օքսիդացվան՝ սնդիկով սենսիբիլիզացվա «Հակցիայի քվանտային ելքի չափումը	101

Հ. Հ. Կալթիկյան և Կ. Ռ. Օրանջանյան— Կուպրոկոմպլեքսների լուծույն Մերմողինամիկան։ III, ուպրոկամպլեքսային անիոնների ակտիվության գործա և բաղադրությունը կալցիումի բարիդի լուժույթներում	"4690
Օ րգանական քիմիա	
Վ, Ի, Իսագուլյանց,կլան ՍՍՌ ԳԱ իսկական անդամ, և Թ. Ա Ավիզյ Գարա-երրորդային բուտիլ-ֆենօքսիքացախան Եվի սինթեզը Ա. Թ. Բաբայան և Ա. Գ. Թերվյան—3-Դիալիլա-ինորության և Մ. Գ. Թերկան—3-Դիալիլա-ինորության և Մ. Մուտին-2-օ Էթերների ձեղքումը կծու կալիումի ազդեցությամբ .	23 Phq _E 105 L-1-h
Շինաբաբական թեխնիկա	
ԱԿ, Շանեիև — Հարարետոն հավաքովի կոնստրուկցիաների պատրաստ	ກປ ເມຽນ 17
Վ. Ե. Մոսկալյովա – Բնափայտի անատոմիական կազմության փոփոխութ մեխանիկական ներգործությունների դեպրում	
Գետլոգիա	
Ա. Գաբբիելյան <i> Երևանի օրջակայքի դոլերիտային բազալաների ա</i> արգրաժիական դիրքի և շասակի մասի ծ	சும் - . 27
Ա Դարիելյան <i>—Արարատյա</i> ն գոգավորութ <i>անկտոնիկայի մասին</i> Լ. Ա. Վաւդանյանց, Հայկական ՍՍՌ ԳԱ թղթակից անդա —Անդալում կրկնաբյուրեղային տրիադի և համաչափության հարցը	117 117 175
Գեռվուգիա Գեռվուգիա	
the state of the same of the s	
Ք. Ա. Կլուդոտովսկի—«Քարև օղեր» Արագած լեռան վրա, Հայաստանում	33
Ռույսներ հիզիոլոգիտ Մ. Մ	
Ս. Ցա Զոլոտնիցկայա և Ա. Ա. Ավագյան <i>– Տիոկարբամիդի</i> <i>դաշտային կուլաուրաների պտղաբերության և արքատային սիստեմի վրա</i> Լ. Հ. Ղազաբյան, Ա. Մ. Եղիաղաբյան և Ն. — Բալագյոզյան <i>— Ֆոտոպերի</i>	. 39
արգիղի փափախանիկանը և եսենորևի երևետավաշնյալը	123
Հ. Ղազաւյան— հրիլայի տերևներից դևպի աձման կոները պլաստիկ Հ. Ղազաւյան օնտոգենետիկ զարգացման տարբեր ֆազհրում .	2 19
Ռույսերի մորժոլոգիա	
Աննա Իվանովա <i>–Ակտինոմորֆ դորանուկազգիների մոտ Նեկտարանոց</i> Հվալուցիայի առթիվ	019
Ռույսներ սիսցիմացիկա	
Դ. Ն. Տետծrեվնիկովա-Բաբայան <i>— ժանդաների Նոր երեք տեսակ Հայկա</i> <i>ԱՍՌ-ում</i>	սկան . 75
Ռույսերի էկոլոգիա	
Ս. Գ. Խուինյան—Ալպյա ն գորգերի բուսատեսակների տարիքային խմ	`բ <i>եր</i> ի
արոշման շարցի չուրը կապված նրանց վերերկրյա և ստորերկրյա հարկայուն	7 July 81
Ս. Գ. Նաշինյան <i>–Արագածի ալպյան գորդերի սեզոնային դինամիկան</i>	179

Ռույսերի գեներիկա

ե. Գ. Լոչաւյան, Հայկական ՍՍՌ ԳԱ իսկական անդամ, և Ս. Գ. Հովճաննի- սյան—Ցորեծի հիբրիդների ձեղջավորման բնույթը զոնայական փոչստման դեպջում Է. Գ. Լոչաւյան—Ժառանգականության փոփոխությունները սեխի և դղումի	225
վեգետատիվ հիբրիդիզացիայի դեպքում	231
Կենդանաբանություն	
Ն. Կ. Վերեշչային և Ս. Կ. Դալ—Խողուկի (Hystrix hirsutirostris Brandt) տարա- Անդրկովկասում Ա. Տ. Բաղդասաւյան—Ոստայնավոր տղերի նոր տեսակ՝ Eurytetranydius recki	85
sp. n. Հայաստանում Հ. Ֆ. Ռեկկ և Ա. Տ. Քաղդասաբյան—Tetranychidae (Acari) ընտանիքի նար	129
uba Zujunuminald	183
Հիդոսբիոլոգիա	
S. Մ. Մեշկովա—Թիաստ խեցգետինների մի նոր տեսակ Diaptomus analutae sp. nov.	45
Միշացաբանություն	
Մ. Ե. Տեր-Մինասյան — Anthonomus Germ. սեռին պատկանող ծաղկակեր կնճի- Թավոր ըղեզների երեք նոր տեսակ (Curculionidae, Coleoptera) Ա Վ. Բոգաչեվ — Տերևակեր բղեզների (Luperus Geoiff.) մի նոր տեսակ	87
(Chrysomelidae, Calerucinae)	131
Կենդանիների Ֆիզիոլոգիա	
Գ. Պ. Մուշեպան—Հյարդի փայծաղի մեջ գտնվող աճման նյութերի մասին Մ. Ս. Գրգույան—Հիստամինի և ացետիլխոլինի ազդեցությունը արդանդի կծկման վրա	91 187
Adeljuljulini pjacis Bellinge we come to the test of test of the test of the test of the	87
Ա. Տ. Սիմանյան — C <i>վիտամինը մալարիայի ժամանակ</i>	33
Անասնաբուծություն	
Ս. Կ. Կառապետյան, Հայկական ՍՍՌ ԳԱ իսկական անդամ—Դրոժների (չա- քարասնկերի) ազդեցությունը հավերի ձվատվության և ձվերի ինկութացիոն հատ- կությունների վրա	135
СОДЕРЖАНИЕ ІХ ТОМА	
	Стр
Математика	
А. Л. Шагинян, действ. чл. АН Армянской ССР. Об одном квази-ана- литическом классе функций . Г. А. Амбарцумян. Задача Пуассона для двух событий и ее приложения	3 49
Физика	
А. К. Товмасян. Вопрос о мпогократном рассенвании света при наличии флуоресценции	145
Астрофизика	
Б. Е. Туманян. Гравитационные погенциальные энергин некоторых открытых звездных скоплений	7 151

Электротехника

М. М. Лебедев. Применение топологии к анализу и синтезу коммута-	
	97
Л. М. Вильчур. Грозопоражаемость в Армянской ССР	157
А. Б. Бабаханян. Потребители-регуляторы частоты (ПРЧ) в электро-	
энергетической системе	163
Л. М. Вильчур. О количественном соотношении типов грозовых разря-	
дов в Армянской ССР	193
М. М. Лебедев. Схема повышенной гибкости для многофидерных распре-	100
· ·	199
	100
Стронтельная механика	
А. Г. Назаров, члкорресп. АН Армянской ССР. Некоторые контакт-	
ные задачи теории оболочек	61
Н. Х. Арутюнян. Решение задачи о кручении стержней полигональ-	
ного поперечного сечения	67
С. А. Амбарцумян. Симметрично нагруженные анизотропные обо-	
лочки вращения	203
Гидроэнергетика	
В. П. Мартынов. Универсальный показатель водно-энергетического	
режима гидроэлектрической станции и гидроэнергосистемы	11
А. М. Осепян. Использовавие гидроэнергии в производстве ферро-	
сплавов при сезонных ограничениях режима электропогребления	55
Физическая химия	
А. Б. Налбандян. Измерение квантового выхода реакции окисления	
метана. сенсибилизированной ртутью	1 0
О. А. Чалтыкян и К. Р. Оганджанян. К термодинамике растворов	
купрокомплексов, III. Коэфициент активности и состав купрокомплексных	
анионов в растворах хлорида кальция	169
Органическая химия	
В. И. Исагулянц, действ. чл. АН Армянской ССР, и Т. А. Азизян.	
Синтез пара-третичного бутил-феноксиуксусной кислоты	23
А. Т. Бабаян и А. Г. Терзян. Синтез в-диалкиламинобутанонов .	105
Г. М. Мирян. Расщепление эфиров ацетиленовых спиртов. І. Расщепле-	
ние эфиров бутин-2-ола-1 действием едкого кали	111
Стронтельная техника	
А. К. Шаншиев. Новые способы изготовления сборных конструкций	
нз струнобетона	17
Древесиноведение	
В. Е. Москалева. Изменение анатомического строения древесины при	
механических воздействиях	207
Геология	
А. А. Габриелян. О стратиграфическом положении и возрасте долери-	
товых базальтов приереванского района	27
А. А. Габриелян. К тектонике Араратской котловины	117
Л. А. Варданянц, члкорресп. АН Армянской ССР. К вопросу	100
О ДВОЙНИКОВОЙ ТОИАЛЕ АНЛАЛУЗИТА И ЕГО СИНГОНИИ	1 -

Геоморфология

Б. А. Клопотовский. "Каменные кольца" на горе Арагац в Армении.	3 3
Физиология растений	
С. Я. Золотницкая и А. А. Авакян. О влиянии тиокарбамида на плодоношение и корневую систему полевых культур	39 123 219
Морфология растений	
Анна Иванова. К эволюции нектарников у актиноморфных лютиковых	213
Систематика растений	
Д. Н. Тетеревникова-Бабаян. О трех новых видах ржавчинных гри- бов, найденных в Армянской ССР	75
Экология растений	
С. Г. Наринян. К вопросу о возрастных группах растений альпийских ковров в связи с надземной и подземной ярусностью	
Генетика растений	
В. О. Гулканян, действ. чл. АН Армянской ССР, и С. Г. Оганесян. Характер расщепления гибридов пшеницы, полученных путем зонального опыления	
Зоология	
Н. К. Верещагин и С. К. Даль. О распространении дикобраза в За- кавказье А. Т. Багдасарян. Новый вид паутинного клеща из Армении Г. Ф. Рекк и А. Т. Багдасарян. Новый род сем. Tetranychidae (Acarı) из Армении	85 129 183
Гидробиология	
T. M. Мешкова. Новый вид веслоногого ракообразного, Diaptomus anahitae sp. nov., из Армении · · · · · · · ·	45
Энтомология	
М. Е. Тер-Минасян. Три новых вида слоников-цветоедов из рода Anthonomus Germ. (Curculionidae, Coleoptera). А. В. Богачев. Новый вид листоедов рода Luperus Geoffr. (Chrysomelidae, Galerucinae)	87 131
Физнология животных	
Г. П. Мушегян. О ростовых веществах печени и селезенки	91
М. С. Григорян. Действие гистамина и ацетилхолина на сократитель- ную деятельность матки	187

MA .		
Mez	1	Ha

Животноводство			
С. К. Карапетян, действ. чл. АН Армянской ССР. на яйценоскость кур и инкубационные качества дик	Влияние	дрожжей	

А. Т. Симонян. О витамине С при малярии

